

บทที่ 4

พฤติกรรมของอาคารภายใต้แผ่นดินไหว

ในงานวิจัยนี้ใช้โปรแกรม TDAP version 3 ในการวิเคราะห์อาคารตัวอย่าง โดยใช้วิธีการวิเคราะห์ 2 แบบ คือ การวิเคราะห์โดยใช้แรงผลักด้านข้าง (Pushover analysis) และการวิเคราะห์แบบพลศาสตร์ (Dynamic analysis) โดยใช้คลื่นแผ่นดินไหว El Centro, SCT และ BYK กระทำที่ฐานอาคาร โดยปรับค่าความเร่งสูงสุดที่ฐาน 3 ค่า ได้แก่ 0.05g, 0.10g และ 0.15g ตามที่ได้กล่าวมาแล้วในบทที่ 3

สำหรับที่จะกล่าวถึง พฤติกรรมการตอบสนองและรูปแบบความเสียหายของอาคารตัวอย่างโดยการวิเคราะห์แบบพลศาสตร์ ของคลื่นแผ่นดินไหว BYK, SCT และ El Centro ขนาดความเร่งสูงสุด 0.05g, 0.10g และ 0.15g ตามลำดับ โดยจะกล่าวถึงพฤติกรรมการตอบสนองโดยรวมของโครงสร้างของ การเปลี่ยนตำแหน่งสูงสุดที่ชั้นต่างๆ, การเปลี่ยนตำแหน่งระหว่างชั้นสูงสุด, รูปแบบความเสียหายของอาคารตัวอย่าง และพฤติกรรมขององค์อาคาร ซึ่งได้แก่ แรงเฉือน (shear force), แรงตามแนวแกน (axial force) และ แรงตัด (bending moment) ใน การวิเคราะห์ จะพิจารณาผลของน้ำหนักบรรทุกคงที่ และ น้ำหนักบรรทุกจรที่คาดว่าจะเกิดขึ้นจริงในขณะเกิดแผ่นดินไหว โดยให้คลื่นแผ่นดินไหวกระทำที่ฐานอาคารภายหลังจากการให้แรงเนื่องจากน้ำหนักบรรทุกคงที่และน้ำหนักบรรทุกจรเพื่อให้สอดคล้องกับลักษณะที่เกิดขึ้นจริง

4.1 พฤติกรรมของอาคารภายใต้คลื่นแผ่นดินไหว BYK

4.1.1 พฤติกรรมโดยรวมของโครงสร้าง (Global behavior of structure)

ในกรณีคลื่นแผ่นดินไหวขนาดความเร่งสูงสุด 0.05g รูปที่ 4.1(ก) แสดงการเปลี่ยนตำแหน่งที่ชั้น 1 และ 6 ตามเวลาของอาคาร พบร่วมมีค่าการเปลี่ยนตำแหน่งสูงสุดที่ชั้น 6 เท่ากับ 47.0 mm คิดเป็น 0.27% ของความสูงอาคาร รูปที่ 4.2 แสดงการเปลี่ยนตำแหน่งสูงสุดที่ชั้นต่างๆ และ การเปลี่ยนตำแหน่งระหว่างชั้นสูงสุดตามความสูงของอาคาร เปรียบเทียบกับการวิเคราะห์ผลักด้านข้างที่มีการกระจายของแรงตามแรงเฉือนของมวลอาคารในลักษณะการเคลื่อนที่ของโนمدที่ 1 ที่ตำแหน่งเกิดการคราภในองค์อาคารเป็นครั้งแรก พบร่วมกับ การเปลี่ยนตำแหน่งสูงสุดและการเปลี่ยนตำแหน่งระหว่างชั้นสูงสุดมีค่าใกล้เคียงกับการวิเคราะห์ผลักด้านข้าง ซึ่งแสดงให้เห็นว่า อาคารตัวอย่างเริ่มนีพฤติกรรมไม่ยืดหยุ่น โดยมีค่าการเปลี่ยนตำแหน่งระหว่างชั้นสูงสุดในชั้นที่ 4 เท่ากับ 11.7 mm คิดเป็นอัตราการเปลี่ยนตำแหน่งระหว่างชั้นเท่ากับ 0.39% ของความสูงชั้น การ

เปลี่ยนตำแหน่งระหว่างชั้นสูงสุดมีค่าเพิ่มขึ้นจากชั้นที่ 1 ถึงชั้นที่ 4 และมีค่าลดลงในชั้นที่ 5 และ 6 รูปที่ 4.3(ก) แสดงแรงเฉือนรวมที่ฐานอาคารตามเวลา พบร่วมมีค่าแรงเฉือนที่ฐานอาคารสูงสุด เท่ากับ 213.0 kN คิดเป็นสัมประสิทธิ์แรงเฉือนที่ฐานเท่ากับ 0.08

สำหรับคลื่นแผ่นดินไหวขนาดความเร่งสูงสุด 0.10g และ 0.15g รูปที่ 4.1(ข) และ 4.1(ค) แสดงการเปลี่ยนตำแหน่งที่ชั้น 1 และ 6 ตามเวลาของอาคาร โดยคลื่นแผ่นดินไหวขนาดความเร่งสูงสุด 0.10g จะมีค่าการเปลี่ยนตำแหน่งสูงสุดที่ชั้น 6 เท่ากับ 100.0 mm คิดเป็น 0.57% ของความสูงอาคาร และ คลื่นแผ่นดินไหวขนาดความเร่งสูงสุด 0.15g จะมีค่าการเปลี่ยนตำแหน่งสูงสุดที่ชั้น 6 เท่ากับ 151.0 mm คิดเป็น 0.86% ของความสูงอาคาร เมื่อพิจารณาการเปลี่ยนตำแหน่งสูงสุดที่ชั้นต่างๆ และ การเปลี่ยนตำแหน่งระหว่างชั้นสูงสุดตามความสูงของอาคาร เปรียบเทียบกับการวิเคราะห์ผลักด้านข้างที่ตำแหน่งเกิดการครากในองค์อาคารเป็นครั้งแรก ดังแสดงได้ในรูปที่ 4.2 พบร่วม คลื่นแผ่นดินไหวขนาดความเร่งสูงสุด 0.10g และ 0.15g อาคารตัวอย่างมีพฤติกรรมในช่วงไม่มีผิดหยุ่น เนื่องจากมีค่าการเปลี่ยนตำแหน่งสูงสุดที่ชั้นต่างๆ และ การเปลี่ยนตำแหน่งระหว่างชั้นสูงสุดมากกว่าการวิเคราะห์ผลักด้านข้าง โดยคลื่นแผ่นดินไหวขนาดความเร่งสูงสุด 0.15g จะมีพฤติกรรมไม่มีผิดหยุ่นเกิดขึ้นมากกว่า การเปลี่ยนตำแหน่งระหว่างชั้นสูงสุดในกรณีคลื่นแผ่นดินไหวขนาดความเร่งสูงสุด 0.10g และ 0.15g พบร่วมมีค่ามากที่ชั้น 4 เท่ากับ 25.6 mm และ 42.7 mm คิดเป็นอัตราการเปลี่ยนตำแหน่งระหว่างชั้นเท่ากับ 0.85% และ 1.42% ของความสูงชั้น ตามลำดับ โดยทั้งคลื่นแผ่นดินไหวขนาดความเร่งสูงสุด 0.10g และ 0.15g จะมีลักษณะการกระจายของการเปลี่ยนตำแหน่งระหว่างชั้นสูงสุดเช่นเดียวกับคลื่นแผ่นดินไหวขนาดความเร่งสูงสุด 0.05g รูปที่ 4.3(ข) และ 4.3(ค) แสดงแรงเฉือนรวมที่ฐานอาคาร ตามเวลา ของคลื่นแผ่นดินไหวขนาดความเร่งสูงสุด 0.10g และ 0.15g พบร่วมมีค่าแรงเฉือนที่ฐานอาคารสูงสุด เท่ากับ 398.0 kN และ 518.0 kN คิดเป็นสัมประสิทธิ์แรงเฉือนที่ฐานเท่ากับ 0.14 และ 0.18 ตามลำดับ เมื่อเปรียบเทียบสัมประสิทธิ์แรงเฉือนที่ฐานของคลื่นแผ่นดินไหวทั้งสาม พบร่วมคลื่นแผ่นดินไหวขนาดความเร่งสูงสุด 0.15g จะมีค่ามากที่สุด ซึ่งทำให้มีพฤติกรรมไม่มีผิดหยุ่นเกิดขึ้นมากกว่ากรณีอื่นๆ

รูปแบบความเสียหายของอาคารตัวอย่างของคลื่นแผ่นดินไหวขนาดความเร่งสูงสุด 0.05g, 0.10g และ 0.15g แสดงได้ดังรูปที่ 4.4 โดยพิจารณาความเสียหายที่เกิดขึ้นเนื่องจากองค์อาคารเกิดการคราก เมื่อเหล็กเสริมตามยาวด้านรับแรงดึงมีค่าความเค้นถึงจุดคราก หรือ ณ จุดที่ผิวนอกสุดของคอนกรีตด้านรับแรงอัด มีค่าความเครียดเท่ากับ 0.002 และที่จุดประลัยเมื่อคอนกรีตที่ผิวนอกสุดในเหล็กปลอกด้านรับแรงอัดมีค่าความเค้นเท่ากับ 20% ของกำลังรับแรงอัดสูงสุดของคอนกรีต พบร่วม อาคารตัวอย่างมีความเสียหายเกิดขึ้นมาก เนื่องจากความถี่

ธรรมชาติของอาคาร (fundamental frequency) มีค่าใกล้เคียงกับความถี่เด่นชัดของคลื่นแผ่นดินไหว (predominant frequency) ดังที่ได้กล่าวมาแล้วในข้างต้น โดยคลื่นแผ่นดินไหวขนาดความเร่งสูงสุด 0.05g พบว่าจะเกิดการครากที่ส่วนบนและส่วนล่างของเสาภายในด้านขวาในชั้นที่ 4 และ 5 และส่วนบนของเสาภายในด้านซ้ายชั้นที่ 4 ซึ่งเป็นการครากที่ไม่รุนแรง เนื่องจากการเปลี่ยนตำแหน่งระหว่างชั้นที่มากในชั้นดังกล่าว และเกิดการครากที่จุดต่อระหว่างคานกับเสาของคานภายในชั้นที่ 2 ซึ่งเป็นการครากที่ไม่รุนแรงเช่นเดียวกัน ส่วนคลื่นแผ่นดินไหวขนาดความเร่งสูงสุด 0.10g พบว่า จะเกิดการครากที่ส่วนบนและส่วนล่างของเสาภายในชั้นที่ 3 และ 6 และเกิดการครากตลอดทั้งชั้นในเสาชั้นที่ 4 และ 5 โดยที่ส่วนบนของเสาภายในชั้นที่ 4 จะเกิดการเปลี่ยนรูปแบบพลาสติก เนื่องจากการเปลี่ยนตำแหน่งระหว่างชั้นที่มากในชั้นดังกล่าว ส่วนคานพบว่าจะเกิดการครากที่คานภายในชั้นที่ 1, 2, 3 และ 4 และคานภายในชั้นที่ 2 และ 3 ส่วนคลื่นแผ่นดินไหวขนาดความเร่งสูงสุด 0.15g พบว่าจะเกิดความเสียหายในอาคารเพิ่มมากขึ้น โดยจะเกิดการเปลี่ยนรูปแบบพลาสติกที่เสาภายในและภายนอกชั้นที่ 4 และ 5 ตลอดทั้งชั้น นอกจากนี้ยังพบการครากที่ไม่รุนแรงเกิดขึ้นที่เสาภายในและภายนอกในชั้นที่ 1, 2, 3 และ 6 ส่วนคานพบว่าจะเกิดการครากขึ้น ที่จุดต่อระหว่างคานกับเสาของคานภายในและภายนอกชั้นที่ 1, 2, 3 และ 4

เมื่อวิเคราะห์ความเสียหายของอาคารตัวอย่างจากรูปแบบความเสียหายของอาคารที่ได้กล่าวมาแล้วในข้างต้น พบว่า ภายใต้คลื่นแผ่นดินไหวขนาดความเร่งสูงสุด 0.05g, 0.10g และ 0.15g พบว่า ความเสียหายของอาคารตัวอย่างจะเริ่มเกิดจากเสาภายในและภายนอกในชั้นที่ 4 และ 5 เกิดการครากขึ้นก่อน เมื่อความเร่งของการเคลื่อนตัวที่ฐานมีค่าเพิ่มขึ้นจะเกิดการกระจายการครากไปที่เสาภายในและภายนอกชั้นที่ 6, 3, 2 และ 1 ตามลำดับ ความเสียหายจะเกิดมากในเสาชั้นที่ 4 และ 5 เนื่องจากการเปลี่ยนตำแหน่งระหว่างชั้นที่มากในชั้นดังกล่าว รองลงมาเป็นในเสาชั้นที่ 6 เสาภายในจะเกิดความเสียหายมากกว่าเสาภายนอก เนื่องจากต้องรับแรงที่เกิดจากการเคลื่อนที่ด้านข้างมากกว่า ดังแสดงได้จากรูปที่ 4.5 ซึ่งเป็นการเปรียบโมเมนต์ดัดที่เกิดขึ้นที่หัวเสาของเสาภายในและเสาภายนอกในชั้นต่างๆ พบว่าเสาภายในจะเกิดโมเมนต์ดัดมากกว่าเสาภายนอก ซึ่งทำให้ต้องรับแรงและมีความเสียหายเกิดขึ้นมากกว่า ส่วนเสาล่างในชั้นที่ 1, 2 และ 3 จะเกิดความเสียหายน้อยกว่าเสาชั้นบนในชั้นที่ 4, 5 และ 6 เนื่องจากการลดขนาดหน้าตัดเสาและการเสริมเหล็กให้น้อยลง จึงทำให้เสาชั้นบนมีกำลังรับโมเมนต์ดันน้อยกว่าคาน ความเสียหายโดยส่วนใหญ่จึงเกิดในเสามากกว่าคาน ดังแสดงการเปรียบเทียบกำลังรับโมเมนต์ดัดของเสาและคานได้ในรูปที่ 4.6 พบว่ากำลังรับโมเมนต์ดัดของเสาชั้นบนมีค่าน้อยกว่าคานเมื่อเปรียบเทียบกับเสาชั้นล่าง และถ้าพิจารณาการออกแบบอาคารต้านทานแผ่นดินไหวตามมาตรฐานของ UBC (1997) โดยให้ผลรวมของกำลังรับโมเมนต์ดัดประลัยของเสามีค่ามากกว่าคานที่บริเวณจุดต่อ

เดียวกัน (strong column – weak beam) ดังสมการ $\sum M_c \geq \alpha \sum M_g$ เมื่อ $\alpha \geq 1$ จะได้หน้าตัดของคานและเสาที่ควรจะเป็น ดังแสดงได้ในรูปที่ 4.6 โดยกำหนดให้กำลังรับโมเมนต์ดัดของคานมีค่าเท่ากันในทุกชั้นพบว่า เสาชั้นบนจะมีกำลังรับโมเมนต์ดัดน้อยกว่ากำลังรับโมเมนต์ดัดของเสาที่ควรจะเป็นตามข้อกำหนด UBC (1997) ดังนั้นในการออกแบบโดยทั่วไปที่นิยมให้เสาชั้นบนมีขนาดหน้าตัดและการเสริมเหล็กที่น้อยกว่าเสาชั้นล่าง ควรปรับปรุงให้เสา มีขนาดหน้าตัดและการเสริมเหล็กที่มากขึ้น เพื่อให้มีผลกระทบของกำลังรับโมเมนต์ดัดมากกว่าคานในการต้านทาน แผ่นดินไหวได้อย่างปลอดภัย ส่วนคานพบว่าจะเกิดการคราบที่คานภายในชั้นที่ 2 ขึ้นก่อน จากนั้น เมื่อความเร่งของการเคลื่อนตัวที่ฐานมีค่าเพิ่มขึ้นจะกระจายการคราบไปที่คานภายในชั้นที่ 1, 3 และ 4 พร้อมกับเกิดการคราบที่คานภายนอกชั้นที่ 2, 3, 4 และ 1 ตามลำดับ ความเสียหายจะเกิดมากที่คานภายในชั้นล่าง เนื่องจากการลดขนาดหน้าตัดคานและการเสริมเหล็กให้น้อยลง ประกอบกับคานชั้นล่างมีกำลังรับโมเมนต์ดัดน้อยกว่าเสามาก ดังแสดงได้ในรูปที่ 4.6 จึงทำให้ความเสียหายโดยส่วนใหญ่เกิดขึ้นที่คานมากกว่าเสา ดังนั้นในการออกแบบอาคารต้านทาน แผ่นดินไหวตามข้อกำหนด UBC (1997) ในรูปที่ 4.6 ควรออกแบบให้คานทุกชั้นมีขนาดหน้าตัด และปริมาณเหล็กเสริมเท่ากัน ทั้งคานภายในและคานภายนอก เพื่อให้สามารถรับแรงกระทำและทนต่อแผ่นดินไหวได้อย่างปลอดภัย

4.1.2 พฤติกรรมขององค์อาคาร (Local behavior of structure)

ตารางที่ 4.1 แสดงผลการตอบสนองสูงสุดขององค์อาคารของ แรงเฉือน (shear force) ของเสาภายในชั้นที่ 1, แรงตามแนว (axial force) ของเสาภายในชั้นที่ 1, โมเมนต์ดัด (bending moment) ของเสาภายในปลายบนชั้นที่ 2, ความโค้ง (curvature) ของเสาภายในปลายบนชั้นที่ 4, โมเมนต์ดัดของคานภายในปลายบนชั้นที่ 2 และ ความโค้งของคานภายในชั้นที่ 2 ของคลื่นแผ่นดินไหวขนาดความเร่งสูงสุด 0.05g, 0.10g และ 0.15g โดยมีรายละเอียดพฤติกรรมขององค์อาคารที่สำคัญ ดังนี้

1) รูปที่ 4.7 แสดงแรงเฉือนของเสาภายในชั้นที่ 1 และ 6 ตามเวลา ของคลื่นแผ่นดินไหวขนาดความเร่งสูงสุด 0.05g, 0.10g และ 0.15g เมื่อพิจารณาแรงเฉือนสูงสุดของเสาภายในตามความสูงของอาคารภายนอก ได้คลื่นแผ่นดินไหวขนาดความเร่งสูงสุด 0.05g, 0.10g และ 0.15g ดังแสดงในรูปที่ 4.8 พบว่า มีค่าแรงเฉือนสูงสุดในเสาชั้นที่ 1 เท่ากับ 61.7 kN, 111.0 kN และ 149.7 kN ตามลำดับ และมีค่าลดลงในชั้นที่สูงขึ้น โดยคลื่นแผ่นดินไหวขนาดความเร่งสูงสุด 0.05g มีค่าแรงเฉือนน้อยที่สุด ส่วนคลื่นแผ่นดินไหวขนาดความเร่งสูงสุด 0.15g มีค่าแรงเฉือนมากที่สุด เมื่อเปรียบเทียบค่าแรงเฉือนที่ได้จากการวิเคราะห์กับกำลังต้านทานแรงเฉือน (shear capacity)

ของหน้าตัดเสา ดังแสดงในรูปที่ 4.8 พบว่า แรงเฉือนในเสาจะมีค่าไม่เกินกำลังต้านทานแรงเฉือนของหน้าตัดเสาสำหรับคลื่นแผ่นดินไหวทั้ง 3 ชี้่งจะทำให้องค์อาคารไม่เกิดการวิบัติเนื่องจากแรงเฉือน

2) รูปที่ 4.9 แสดงแสดงแรงตามแนวแกนของเสาภายในชั้นที่ 1 และ 6 ตามเวลา ภายใต้ คลื่นแผ่นดินไหวขนาดความเร่งสูงสุด $0.05g$, $0.10g$ และ $0.15g$ พบว่า เมื่อแผ่นดินไหวมีขนาดใหญ่ขึ้นแรงตามแนวแกนจะมีค่าเพิ่มขึ้น โดยเสาชั้นที่ 1 จะมีแรงตามแนวแกนมากกว่าเสาชั้นที่ 6 เมื่อพิจารณาแรงตามแนวแกนสูงสุดในเสาตามความสูงของอาคาร ของคลื่นแผ่นดินไหวขนาดความเร่งสูงสุด $0.15g$ ดังแสดงได้ในรูปที่ 4.10 พบว่ามีค่าแรงตามแนวแกนสูงสุดในเสาชั้นที่ 1 เท่ากับ 599.0 kN และ 1050.0 kN สำหรับเสาภายในและภายนอกตามลำดับ ในชั้นที่สูงขึ้นไปแรงตามแนวแกนจะมีค่าลดลง โดยเสาชั้นคาดฟ้าจะมีแรงตามแนวแกนน้อยที่สุด รูปที่ 4.11(ก) และ 4.11(ข) แสดงการเปลี่ยนแปลงแรงตามแนวแกนในเสาของเสาภายในและภายนอก เมื่อเปรียบเทียบกับแรงตามแนวแกนเมื่อจากแรงในแนวตั้ง พบว่าแรงตามแนวแกนในเสาจะมีค่าเพิ่มขึ้นจากแรงในแนวตั้งเมื่อพิจารณาผลของแผ่นดินไหว รูปที่ 4.11(ค) แสดงอัตราส่วนแรงตามแนวแกนในเสาของแรงในแนวตั้งและแผ่นดินไหว พบว่าเสาชั้นบนในชั้นที่ 5 และ 6 มีอัตราส่วนแรงตามแนวแกนในเสามากกว่าเสาชั้นล่าง โดยมีแรงตามแนวแกนสูงสุดเพิ่มขึ้นในเสาภายในชั้นที่ 6 มีค่าเท่ากับ 78.2 kN คิดเป็น 2.0 เท่าของแรงตามแนวแกนเมื่อจากแรงในแนวตั้ง ดังนั้นในการออกแบบเสาชั้นบน ชี้่งปกติจะออกแบบให้มีขนาดหน้าตัดและการเสริมเหล็กที่น้อยกว่าเสาชั้นล่าง จะต้องคำนึงถึงแรงตามแนวแกนที่เพิ่มขึ้นในเสาเมื่อพิจารณาผลของแผ่นดินไหว ที่ทำให้กำลังรับไมemenต์ตัดและความหนาวยของเสา มีค่าลดลง โดยจะต้องออกแบบให้เสาชั้นบนมีขนาดหน้าตัดและการเสริมเหล็กที่เพียงพอต่อแรงกระทำที่เพิ่มขึ้นในการต้านทานแผ่นดินไหวได้อย่างปลอดภัย ดังที่ได้กล่าวมาแล้วในรูปแบบความเสียหายของอาคาร

3) รูปที่ 4.12 แสดงความสัมพันธ์ระหว่างโมเมนต์ตัดและความโค้งของเสาภายในปลายบันชั้นที่ 4 และ 5 ของคลื่นแผ่นดินไหวขนาดความเร่งสูงสุด $0.10g$ และ $0.15g$ พบว่า กรณีคลื่นแผ่นดินไหวขนาดความเร่งสูงสุด $0.10g$ ความสัมพันธ์ระหว่างโมเมนต์ตัดและความโค้งจะเป็นลูปที่ค่อนข้างสมมาตร โดยมีค่าความโค้งมากที่สุดในเสาชั้นที่ 5 เท่ากับ 0.027 คิดเป็น อัตราส่วนความหนาวยเชิงความโค้งที่ได้จากการวิเคราะห์ เท่ากับ 2.1 โดยมีค่าอัตราส่วนความหนาวยเชิงความโค้งของหน้าตัดเสา เท่ากับ 5.7 ส่วนคลื่นแผ่นดินไหวขนาดความเร่งสูงสุด $0.15g$ ความสัมพันธ์ระหว่างโมเมนต์ตัดและความโค้งจะเป็นลูปที่ใหญ่ขึ้นแต่ไม่สมมาตร โดยมีค่าความโค้งมากที่สุดในเสาชั้นที่ 4 เท่ากับ 0.11 คิดเป็น อัตราส่วนความหนาวยเชิงความโค้งที่ได้จากการวิเคราะห์ เท่ากับ 11.6 และมีค่าอัตราส่วนความหนาวยเชิงความโค้งของหน้าตัดเสา เท่ากับ 5.3

เมื่อพิจารณาโมเมนต์ดัดและความโค้งสูงสุดของเสาภายใต้荷重ตามความสูงของอาคารของคลื่นแผ่นดินไหวขนาดความรุ่นสูงสุด 0.05g, 0.10g และ 0.15g ดังแสดงได้ในรูปที่ 4.13(g) และ 4.13(ข) พบว่าโมเมนต์ดัดมีค่ามากที่สุดในชั้นที่ 2 และมีค่าลดลงในชั้นที่สูงขึ้น และชั้นที่ 1 เนื่องจากเป็นเสาสันจึงทำให้รับแรงได้น้อยกว่า โดยคลื่นแผ่นดินไหวขนาดความรุ่นสูงสุด 0.05g จะมีค่าโมเมนต์ดัดน้อยที่สุด ส่วนคลื่นแผ่นดินไหวขนาดความรุ่นสูงสุด 0.15g จะมีค่าโมเมนต์ดัดมากที่สุด เท่ากับ $70.5 \text{ kN}\cdot\text{m}$ และ $135.8 \text{ kN}\cdot\text{m}$ ตามลำดับ เมื่อเปรียบเทียบกับกำลังรับโมเมนต์ดัดที่จุดคราก (yielding moment) ของเสาที่ได้จากการวิเคราะห์หน้าตัด (section analysis) พบว่า เสาชั้นที่ 4, 5, และ 6 จะมีค่าโมเมนต์ดัดเกินกำลังรับโมเมนต์ดัดที่จุดครากของเสา สำหรับคลื่นแผ่นดินไหวขนาดความรุ่นสูงสุด 0.10g และ 0.15g ส่วนความโค้งพบว่า จะมีค่ามากในเสาชั้นที่ 4 และ 5 และมีค่าน้อยในเสาชั้นล่าง เมื่อนำไปเปรียบเทียบกับค่าความโค้งที่จุดคราก (yielding curvature) ของเสาพบว่า ในกรณีคลื่นแผ่นดินไหวขนาดความรุ่นสูงสุด 0.10g และ 0.15g เสาชั้นบนในชั้นที่ 4, 5 และ 6 จะมีค่าความโค้งเกินความโค้งที่จุดครากของเสา ซึ่งทำให้เสาชั้นบนเกิดการครากและความเสียหายมากกว่าเสาชั้นล่าง ดังที่ได้กล่าวมาแล้วในรูปแบบความเสียหายของอาคาร

4) รูปที่ 4.14 แสดงความสัมพันธ์ระหว่างโมเมนต์ดัดและความโค้งของคานภายใต้ชั้นที่ 2 และ 3 ของคลื่นแผ่นดินไหวขนาดความรุ่นสูงสุด 0.10g และ 0.15g พบว่า กรณีคลื่นแผ่นดินไหวขนาดความรุ่นสูงสุด 0.10g ความสัมพันธ์ระหว่างโมเมนต์ดัดและความโค้งจะเป็นลูปที่ไม่สมมาตร โดยมีค่าความโค้งมากที่สุดในคานชั้นที่ 2 เท่ากับ 0.030 คิดเป็น อัตราส่วนความเหนี่ยวเชิงความโค้งของหน้าตัดคานเท่ากับ 8.7 ส่วนคลื่นแผ่นดินไหวขนาดความรุ่นสูงสุด 0.15g ความสัมพันธ์ระหว่างโมเมนต์ดัดและความโค้งจะเป็นลูปที่ใหญ่ขึ้นและไม่สมมาตร โดยมีค่าความโค้งมากที่สุดในคานชั้นที่ 2 เท่ากับ 0.050 คิดเป็น อัตราส่วนความเหนี่ยวเชิงความโค้งที่ได้จากการวิเคราะห์ เท่ากับ 5.6 และมีอัตราส่วนความเหนี่ยวเชิงความโค้งของหน้าตัดคาน เท่ากับ 8.7 เมื่อพิจารณาโมเมนต์ดัดและความโค้งสูงสุดของคานภายใต้荷重ตามความสูงของอาคารของคลื่นแผ่นดินไหวขนาดความรุ่นสูงสุด 0.05g, 0.10g และ 0.15g ดังแสดงได้ในรูปที่ 4.15(g) และ 4.15(ข) พบว่า โมเมนต์ดัดจะมีค่าเพิ่มขึ้นจากชั้นที่ 1 ถึงชั้นที่ 2 และมีค่าลดลงในชั้นที่สูงขึ้น โดยคลื่นแผ่นดินไหวขนาดความรุ่นสูงสุด 0.05g จะมีค่าโมเมนต์ดัดน้อยที่สุดเท่ากับ $53.7 \text{ kN}\cdot\text{m}$ ส่วนคลื่นแผ่นดินไหวขนาดความรุ่นสูงสุด 0.15g จะมีค่าโมเมนต์ดัดมากที่สุดเท่ากับ $71.6 \text{ kN}\cdot\text{m}$ เมื่อเปรียบเทียบกับกำลังรับโมเมนต์ดัดที่จุดครากของคานที่ได้จากการวิเคราะห์หน้าตัด พบว่า คานภายใต้ชั้นที่ 2 และ 3 กรณีคลื่นแผ่นดินไหวขนาดความรุ่นสูงสุด 0.10g และ 0.15g จะมีค่าโมเมนต์ดัดเกินกำลัง

รับโน้มเนนต์ดัดที่จุดครากของคาน ซึ่งสอดคล้องกับรูปแบบความเสียหายที่เกิดขึ้น ส่วนความโค้งซึ่งแสดงได้ในรูปที่ 4.15(ข) พบว่าจะมีค่ามากที่คานภายในชั้นที่ 2 และมีค่าลดลงในชั้นที่สูงขึ้น เมื่อนำไปเปรียบเทียบกับค่าความโค้งที่จุดคราก (yielding curvature) ของหน้าตัดคาน พบว่ากรณีคลื่นแผ่นดินให้ขนาดความเร่งสูงสุด 0.10g และ 0.15g คานชั้นที่ 2 และ 3 จะมีค่าความโค้งเกินความโค้งที่จุดครากของหน้าตัดคาน ซึ่งสอดคล้องกับรูปแบบความเสียหายของอาคารที่ได้กล่าวมาแล้วในข้างต้น รูปที่ 4.16(ก) และ 4.16(ข) แสดงค่าโน้มเนนต์ดัดและความโค้งของคานตามความยาวของอาคาร พิจารณาจากคลื่นแผ่นดินให้ BYK ขนาดความเร่งสูงสุด 0.15g พบว่า โน้มเนนต์ดัดจะมีค่ามากที่ช่วงคานภายในนอกและมีค่าลดลงที่ช่วงคานภายใน ใน เนื่องจากคานภายในมีความยาวในช่วงคานมากกว่า โดยจะเกิดโน้มเนนต์ดัดมากที่สุดที่คานภายในชั้นที่ 3 ส่วนค่าความโค้งพบว่าที่ช่วงคานภายในจะมีค่าความโค้งมากกว่าคานภายนอก โดยจะเกิดความโค้งมากที่สุดที่คานภายในชั้นที่ 2 ค่าความโค้งที่มากของช่วงคานภายในแสดงให้เห็นว่า คานภายในจะเกิดความเสียหามากกว่าคานภายนอก เนื่องจากการลดขนาดหน้าตัดคานและการเสริมเหล็กให้น้อยลง ดังที่ได้กล่าวมาแล้วในรูปแบบความเสียหายของอาคาร

4.2 พฤติกรรมของอาคารภายใต้คลื่นแผ่นดินใหม่ EI Centro

4.2.1 พฤติกรรมโดยรวมของโครงสร้าง (Global behavior of structure)

ตารางที่ 4.1 แสดงพฤติกรรมการตอบสนองสูงสุดของการเปลี่ยนตำแหน่งในชั้นที่ 6, การเปลี่ยนตำแหน่งระหว่างชั้น และแรงเฉือนที่ฐานอาคาร ของคลื่นแผ่นดินให้ขนาดความเร่งสูงสุด 0.05g, 0.10g และ 0.15g พบว่าการตอบสนองของอาคารมีค่าน้อยกว่าคลื่นแผ่นดินให้ BYK เนื่องจากความถี่เด่นชัดของคลื่นแผ่นดินให้มีค่าแตกต่างจากความถี่ธรรมชาติของอาคารมากกว่า คลื่นแผ่นดินให้ BYK ซึ่งมีความถี่น้อยกว่า การเปลี่ยนตำแหน่งในชั้นที่ 1 และ 6 และแรงเฉือนที่ฐานอาคารตามเวลาของคลื่นแผ่นดินให้ขนาดความเร่งสูงสุด 0.05g, 0.10g และ 0.15g แสดงได้ในภาคผนวก ข รูปที่ 4.17 แสดงการเปลี่ยนตำแหน่งสูงสุดที่ชั้นต่างๆ และ การเปลี่ยนตำแหน่งระหว่างชั้นสูงสุด ตามความสูงของอาคาร เปรียบเทียบกับการวิเคราะห์ผลักด้านข้างที่มีการกระจายของแรงตามแรงเฉือนของมวลอาคารในลักษณะการเคลื่อนที่ของ吟木ที่ 1 ที่ตำแหน่งเกิดการครากในองค์อาคารเป็นครั้งแรก พบว่ากรณีคลื่นแผ่นดินให้ขนาดความเร่งสูงสุด 0.05g อาคารตัวอย่างมีพฤติกรรมในช่วงยีดหยุ่น ส่วนคลื่นแผ่นดินให้ขนาดความเร่งสูงสุด 0.10g และ 0.15g อาคารตัวอย่างมีพฤติกรรมไม่ยีดหยุ่น โดยจะเกิดมากในคลื่นแผ่นดินให้ขนาดความเร่งสูงสุด 0.15g สำหรับการเปลี่ยนตำแหน่งระหว่างชั้นสูงสุดของคลื่นแผ่นดินให้ขนาดความเร่งสูงสุด 0.10g และ 0.15g จะมีการกระจายที่แตกต่างไปจากคลื่นแผ่นดินให้ BYK โดยมีการ

เปลี่ยนตำแหน่งระหว่างชั้นสูงสุดเลื่อนไปชั้นที่สูงกว่าจากคลื่นแผ่นดินไหวขนาดความเร่งสูงสุด 0.05g เนื่องจากอาคารตัวอย่างมีพฤติกรรมไม่ยึดหยุ่นและมีความเสียหายเกิดขึ้นมากกว่า ทำให้การยึดรังการเคลื่อนที่ของโครงข้อแข็งมีค่าลดลง

รูปแบบความเสียหายของอาคารตัวอย่างของคลื่นแผ่นดินไหวขนาดความเร่งสูงสุด 0.05g, 0.10g และ 0.15g แสดงได้ดังรูปที่ 4.18 พบว่า ความเสียหายจะเกิดขึ้นน้อยกว่าคลื่นแผ่นดินไหว BYK เนื่องจากมีความถี่เด่นชัดของคลื่นแผ่นดินไหวแตกต่างจากความถี่ธรรมชาติของอาคารและมีค่ามากกว่าคลื่นแผ่นดินไหว BYK โดยกรณีคลื่นแผ่นดินไหวขนาดความเร่งสูงสุด 0.05g ไม่พบการครากเกิดขึ้นในเสาและคานแต่อย่างใด เนื่องจากอาคารตัวอย่างยังมีพฤติกรรมในช่วงยึดหยุ่น ส่วนคลื่นแผ่นดินไหวขนาดความเร่งสูงสุด 0.10g และ 0.15g พบว่าเกิดความเสียหายในอาคารมากกว่า โดยพบการครากเกิดขึ้นที่ส่วนบนและส่วนล่างของเสาภายในชั้นที่ 4, 5 และ 6 ทั้งคลื่นแผ่นดินไหวขนาดความเร่งสูงสุด 0.10g และ 0.15g และพบการครากที่ส่วนบนและส่วนล่างของเสาภายนอกชั้นที่ 4 และ 5 สำหรับคลื่นแผ่นดินไหวขนาดความเร่งสูงสุด 0.15g โดยทั้งคลื่นแผ่นดินไหวขนาดความเร่งสูงสุด 0.10g และ 0.15g จะไม่พบความเสียหายในเสาชั้นที่ 1, 2 และ 3 ตลอดทั้งชั้นแต่อย่างใด สำหรับคานพบว่าในกรณีคลื่นแผ่นดินไหวขนาดความเร่งสูงสุด 0.10g จะไม่พบการครากและความเสียหายแต่อย่างใด ส่วนคลื่นแผ่นดินไหวขนาดความเร่งสูงสุด 0.15g พบว่าจะเกิดการครากที่จุดต่อระหว่างคานกับเสาของคานภายในชั้นที่ 2 และ 3 สำหรับสาเหตุที่ทำให้คานและเสาเกิดความเสียหายเป็นเช่นเดียวกับคลื่นแผ่นดินไหว BYK

4.2.2 พฤติกรรมขององค์อาคาร (Local behavior of structure)

ตารางที่ 4.1 แสดงผลการตอบสนองสูงสุดขององค์อาคารของ แรงเฉือน (shear force) ของเสาภายในชั้นที่ 1, แรงตามแนว (axial force) ของเสาภายในชั้นที่ 1, โมเมนต์ดัด (bending moment) ของเสาภายในปลายบันชั้นที่ 2, ความโค้ง (curvature) ของเสาภายในปลายบันชั้นที่ 5, โมเมนต์ดัดของคานภายในชั้นที่ 2 และ ความโค้งของคานภายในชั้นที่ 2 ของคลื่นแผ่นดินไหวขนาดความเร่งสูงสุด 0.05g, 0.10g และ 0.15g พบว่ามีการตอบสนองขององค์อาคารที่น้อยกว่าคลื่นแผ่นดินไหว BYK เนื่องจากมีความถี่เด่นชัดของคลื่นแผ่นดินไหวแตกต่างจากความถี่ธรรมชาติของอาคาร สำหรับการตอบสนองตามเวลาของแรงเฉือนในเสาภายในชั้นที่ 1 และ 6, และเฉือนของคานภายในชั้นที่ 2 และ 3, แรงตามแนวแกนของเสาภายในชั้นที่ 1 และ 6 และความสัมพันธ์ระหว่างโมเมนต์ดัดและความโค้งของคานและเสา แสดงได้ในภาคผนวก ฯ โดยมีการตอบสนองสูงสุดตามความสูงอาคารของแรงเฉือนของเสาภายใน, โมเมนต์ดัด และ ความโค้งของคานภายในและเสาภายในใกล้เคียงกับคลื่นแผ่นดินไหว BYK แต่มีค่าการตอบสนองสูงสุดที่น้อย

กว่าดังแสดงได้ในรูปที่ 4.19 - 4.21

4.3 พฤติกรรมของอาคารภายใต้คลื่นแผ่นดินไหว SCT

4.3.1 พฤติกรรมโดยรวมของโครงสร้าง (Global behavior of structure)

ตารางที่ 4.1 แสดงพฤติกรรมการตอบสนองสูงสุดของการเปลี่ยนตำแหน่งในชั้นที่ 6, การเปลี่ยนตำแหน่งระหว่างชั้น และแรงเฉือนที่ฐานอาคาร ของคลื่นแผ่นดินไหวขนาดความเร่งสูงสุด 0.05g, 0.10g และ 0.15g พบว่าการตอบสนองของอาคารมีค่ามากกว่าคลื่นแผ่นดินไหว EI Centro แต่น้อยกว่าคลื่นแผ่นดินไหว BYK เนื่องจากความถี่เด่นชัดของคลื่นแผ่นดินไหวแตกต่างจากความถี่ธรรมชาติของอาคาร แต่ใกล้เคียงมากกว่าคลื่นแผ่นดินไหว EI Centro โดยมีความถี่เด่นชัดของคลื่นแผ่นดินไหวที่น้อยกว่า สำหรับการเปลี่ยนตำแหน่งในชั้นที่ 1 และ 6 และแรงเฉือนที่ฐานอาคารตามเวลาของคลื่นแผ่นดินไหวขนาดความเร่งสูงสุด 0.05g, 0.10g และ 0.15g แสดงได้ในภาคผนวก ข รูปที่ 4.22 แสดงการเปลี่ยนตำแหน่งสูงสุดที่ชั้นต่างๆ และ การเปลี่ยนตำแหน่งระหว่างชั้นสูงสุด ตามความสูงของอาคาร เปรียบเทียบกับการวิเคราะห์ผลักด้านข้างที่มีการกระจายของแรงตามแรงเฉียบของมวลอาคารในลักษณะการเคลื่อนที่ของ荷模ที่ 1 ที่ตำแหน่งเกิดการครากในองค์อาคารเป็นครั้งแรก พบว่าเป็นเช่นเดียวกับคลื่นแผ่นดินไหว EI Centro โดยคลื่นแผ่นดินไหวขนาดความเร่งสูงสุด 0.05g อาคารตัวอย่างมีพฤติกรรมในช่วงปีดหยุ่น ส่วนคลื่นแผ่นดินไหวขนาดความเร่งสูงสุด 0.10g และ 0.15g อาคารตัวอย่างมีพฤติกรรมไม่ปีดหยุ่น โดยจะเกิดมากในคลื่นแผ่นดินไหวขนาดความเร่งสูงสุด 0.15g สำหรับการกระจายการเปลี่ยนตำแหน่งระหว่างชั้นสูงสุดจะมีลักษณะเช่นเดียวกับคลื่นแผ่นดินไหว BYK

รูปแบบความเสียหายของอาคารตัวอย่างของคลื่นแผ่นดินไหวขนาดความเร่งสูงสุด 0.05g 0.10g และ 0.15g แสดงได้ดังรูปที่ 4.23 พบว่า มีความเสียหายเกิดขึ้นมากกว่าคลื่นแผ่นดินไหว EI Centro แต่น้อยกว่าคลื่นแผ่นดินไหว BYK เนื่องจากมีความถี่เด่นชัดของคลื่นแผ่นดินไหวแตกต่างจากความถี่ธรรมชาติของอาคาร แต่ใกล้เคียงกับความถี่ธรรมชาติของอาคารมากกว่าคลื่นแผ่นดินไหว EI Centro ดังที่ได้กล่าวมาแล้วในข้างต้น โดยกรณีคลื่นแผ่นดินไหวขนาดความเร่งสูงสุด 0.05g ไม่พบการครากเกิดขึ้นในเสาและคานแต่อย่างใด ส่วนคลื่นแผ่นดินไหวขนาดความเร่งสูงสุด 0.10g พบว่า เกิดการครากที่เสาภายในชั้นที่ 3, 4, 5 และ 6 และเสาภายในชั้นที่ 4 และ 5 ส่วนคานพบว่าเกิดการครากที่คานภายในชั้นที่ 1, 2 และ 3 และคานภายในชั้นที่ 2 สำหรับคลื่นแผ่นดินไหวขนาดความเร่งสูงสุด 0.15g พบว่าจะเกิดการครากในเสาชั้นที่ 4 และ 5 ตลอดทั้งชั้น โดยเสาภายในจะเกิดการเปลี่ยนรูปแบบพลาสติก นอกจากนี้ยังพบการครากเกิดขึ้นที่เสา

ภายในและเสาภายในออกชั้นที่ 1, 2, 3 และ 6 ความเสียหายจะเกิดมากที่เสาชั้นบนในชั้นที่ 4 และ 5 ส่วนคานพบว่าจะเกิดการครากขึ้นที่คานภายในออกชั้นที่ 1, 2, 3 และ 4 และคานภายในชั้นที่ 1, 2 และ 3 สำหรับสาเหตุที่ทำให้คานและเสาเกิดความเสียหายเป็นเช่นเดียวกับคลื่นแผ่นดินไหว BYK

4.3.2 พฤติกรรมขององค์อาคาร (Local behavior of structure)

ตารางที่ 4.1 แสดงผลการตอบสนองสูงสุดขององค์อาคารของ แรงเฉือน (shear force) ของเสาภายในชั้นที่ 1, แรงตามแนว (axial force) ของเสาภายในชั้นที่ 1, โมเมนต์ดัด (bending moment) ของเสาภายในปลายบนชั้นที่ 2, ความโค้ง (curvature) ของเสาภายในปลายบนชั้นที่ 4, โมเมนต์ดัดของคานภายในชั้นที่ 2 และ ความโค้งของคานภายในชั้นที่ 2 ของคลื่นแผ่นดินไหว ขนาดความเร่งสูงสุด 0.05g, 0.10g และ 0.15g พบว่ามีการตอบสนองขององค์อาคารที่มากกว่า คลื่นแผ่นดินไหว EI Centro แต่น้อยกว่าคลื่นแผ่นดินไหว BYK เช่นเดียวกับรูปแบบความเสียหาย ของอาคาร สำหรับการตอบสนองตามเวลาของ แรงเฉือนในเสาภายในชั้นที่ 1 และ 6, แรงเฉือน ของคานภายในชั้นที่ 2 และ 3, แรงตามแนวแกนของเสาภายในชั้นที่ 1 และ 6, แรงตามแนวแกน ของคานภายในชั้นที่ 2 และ 3 และความสัมพันธ์ระหว่างโมเมนต์ดัดและความโค้งของคานและ เสา แสดงได้ในภาคผนวก ฯ โดยมีการตอบสนองสูงสุดตามความสูงอาคารของแรงเฉือน, โมเมนต์ ดัด และความโค้งของคานและเสา เช่นเดียวกับคลื่นแผ่นดินไหว BYK แต่มีค่าการตอบสนองที่น้อย กว่า ดังแสดงได้ในรูปที่ 4.24 - 4.26 และจากรูปที่ ผ.ช.12 ในภาคผนวก แสดงแรงตามแนวแกน ของคานภายในชั้นที่ 2 และ 3 ตามเวลา ของคลื่นแผ่นดินไหวขนาดความเร่งสูงสุด 0.10g และ 0.15g พบว่า มีค่าแรงตามแนวแกนสูงสุดในคานชั้นที่ 2 เท่ากับ 45.34 และ 96.70 kN ตามลำดับ จากลักษณะของกราฟพบว่ามีแรงตามแนวแกนเกิดขึ้นในคาน โดยมีการเปลี่ยนแปลงแรงตาม แนวแกนอย่างกะทันหันในบางช่วง จากพฤติกรรมของแรงตามแนวแกนที่เกิดขึ้นในคานจะทำให้ ความสัมพันธ์ระหว่างโมเมนต์ดัดและความโค้งของคานภายในชั้นที่ 2 และ 3 ของคลื่นแผ่นดินไหว ขนาดความเร่งสูงสุด 0.15g เมื่อเปรียบเทียบกับการวิเคราะห์หน้าตัด ดังแสดงได้ในรูปที่ ผ.ช.14 มี ความแตกต่างกัน ทั้งนี้เนื่องจากการจำลองพฤติกรรมไม่เชิงเส้นโดยใช้แบบจำลองไฟเบอร์ ที่ คำนึงถึงการเปลี่ยนของแรงตามแนวแกนที่เกิดขึ้นในองค์อาคาร จะทำให้มีโมเมนต์ดัดและ ความโค้งที่ได้จากการวิเคราะห์แตกต่างจากการวิเคราะห์หน้าตัดที่ไม่พิจารณาผลของแรงตาม แนวแกนในคาน

4.4 ผลของลักษณะของคลื่นแผ่นดินไหว

สำหรับคลื่นแผ่นดินไหวขนาดความเร่งสูงสุด $0.05g$ รูปที่ 4.27(ก) แสดงการเปลี่ยนตัวแหน่งสูงสุดที่ชั้นต่างๆ และการเปลี่ยนตัวแหน่งระหว่างชั้นสูงสุด เปรียบเทียบกับการวิเคราะห์ผลักด้านข้างที่มีการกระจายของแรงตามแรงเฉียบของมวลอาคารในลักษณะการเคลื่อนที่ของหมอดที่ 1 เมื่อองค์อาคารเริ่มเกิดการคราก พบว่า กรณีคลื่นแผ่นดินไหว EI Centro และ SCT อาคารตัวอย่างมีพฤติกรรมในช่วงยึดหยุ่น เนื่องจากการเปลี่ยนตัวแหน่งสูงสุดที่ชั้นต่างๆ และการเปลี่ยนตัวแหน่งระหว่างชั้นสูงสุดมีค่าน้อยกว่าการวิเคราะห์ผลักด้านข้าง ส่วนคลื่นแผ่นดินไหว BYK อาคารตัวอย่างเริ่มมีพฤติกรรมไม่ยึดหยุ่น โดยมีความเสียหายเกิดขึ้นบ้างแต่ไม่มาก เนื่องจาก การเปลี่ยนตัวแหน่งสูงสุดที่ชั้นต่างๆ และการเปลี่ยนตัวแหน่งระหว่างชั้นสูงสุดมีค่ามากกว่าการวิเคราะห์ผลักด้านข้าง และผลตอบสนองของอาคารจะมีมากกว่าคลื่นแผ่นดินไหว EI Centro และ SCT เนื่องจากความถี่ธรรมชาติของอาคารที่ได้จากการวิเคราะห์ มีค่าเท่ากับ 1.04 Hz ใกล้เคียงกับความถี่เด่นชัดของคลื่นแผ่นดินไหวที่มีค่าเท่ากับ 1.20 Hz การกระจายการเปลี่ยนตัวแหน่งระหว่างชั้นของคลื่นแผ่นดินไหวทั้งสามจะมีค่ามากในชั้น 4 และมีค่าลดลงในชั้นล่าง

สำหรับคลื่นแผ่นดินไหวขนาดความเร่งสูงสุด $0.10g$ รูปที่ 4.27(ข) แสดงการเปลี่ยนตัวแหน่งสูงสุดที่ชั้นต่างๆ และการเปลี่ยนตัวแหน่งระหว่างชั้นสูงสุด เปรียบเทียบกับการวิเคราะห์ผลักด้านข้างที่มีการกระจายของแรงตามแรงเฉียบของมวลอาคารในลักษณะการเคลื่อนที่ของหมอดที่ 1 เมื่อองค์อาคารเริ่มเกิดการคราก พบว่า อาคารตัวอย่างมีพฤติกรรมไม่ยึดหยุ่น สำหรับคลื่นแผ่นดินไหว EI Centro, SCT และ BYK เนื่องจากการเปลี่ยนตัวแหน่งสูงสุดที่ชั้นต่างๆ และการเปลี่ยนตัวแหน่งระหว่างชั้นสูงสุดมีค่ามากกว่าการวิเคราะห์ผลักด้านข้างเมื่อองค์อาคารเริ่มเกิดการคราก การกระจายการเปลี่ยนตัวแหน่งระหว่างชั้นของคลื่นแผ่นดินไหว EI Centro ไม่เหมือนในกรณีแรก โดยจะเลื่อนขึ้นไปในชั้นที่ 5 เนื่องจากความเสียหายที่เกิดขึ้นมากทำให้การยึดรั้งการเปลี่ยนตัวแหน่งมีค่าลดลง ส่วนคลื่นแผ่นดินไหว SCT และ BYK พบว่าการเปลี่ยนตัวแหน่งที่ชั้นต่างๆ มีค่าเพิ่มมากขึ้น แต่การเปลี่ยนตัวแหน่งระหว่างชั้นสูงสุดยังเกิดขึ้นในชั้นที่ 4 โดยคลื่นแผ่นดินไหว BYK จะมีผลการตอบสนองของอาคารมากที่สุด เช่นเดียวกับคลื่นแผ่นดินไหวขนาดความเร่งสูงสุด $0.05g$

สำหรับคลื่นแผ่นดินไหวขนาดความเร่งสูงสุด $0.15g$ ซึ่งเป็นความเร่งในเขตแผ่นดินไหวปานกลาง (Zone 2A) ของประเทศไทยตามข้อกำหนดของ UBC (1997) รูปที่ 4.27(ค) แสดงการเปลี่ยนตัวแหน่งสูงสุดที่ชั้นต่างๆ และการเปลี่ยนตัวแหน่งระหว่างชั้นสูงสุด เปรียบเทียบกับการวิเคราะห์ผลักด้านข้างที่มีการกระจายของแรงตามแรงเฉียบของมวลอาคารในลักษณะการเคลื่อนที่

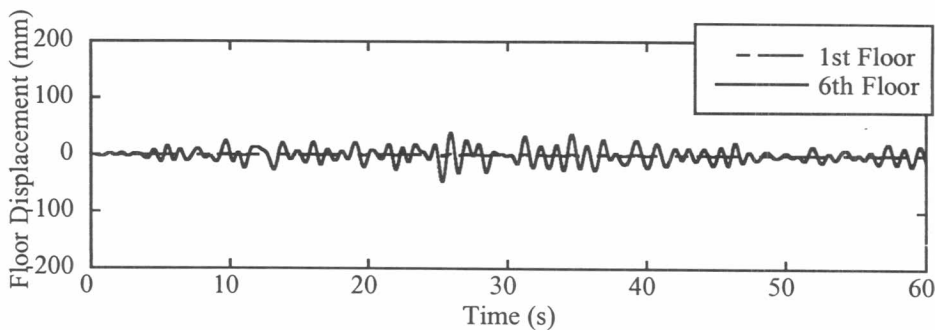
ของ荷模ที่ 1 เมื่อองค์อาคารเริ่มเกิดการคราก พบว่า อาคารตัวอย่างมีพฤติกรรมไม่ยึดหยุ่นและมีความเสียหายเกิดขึ้นมาก คลื่นแผ่นดินไหว SCT และ BYK จะเกิดการเปลี่ยนรูปแบบพลาสติกที่เสาชั้นที่ 4 และ 5 โดยคลื่นแผ่นดินไหว BYK จะมีผลการตอบสนองของอาคารมากที่สุด ทั้งนี้เนื่องจากความถี่ธรรมชาติของอาคารมีค่าใกล้เคียงกับความถี่เด่นชัดของคลื่นแผ่นดินไหว เช่นเดียวกับคลื่นแผ่นดินไหวขนาดความเร่งสูงสุด 0.05g และ 0.10g การกระจายการเปลี่ยนตำแหน่งระหว่างชั้นสูงสุดของคลื่นแผ่นดินไหว SCT และ BYK มีลักษณะเช่นเดียวกับคลื่นแผ่นดินไหวขนาดความเร่งสูงสุด 0.10g ส่วนคลื่นแผ่นดินไหว EI Centro พบว่ายังไม่เกิดความเสียหายที่รุนแรงเมื่อกับคลื่นแผ่นดินไหว SCT และ BYK โดยมีการกระจายการเปลี่ยนตำแหน่งระหว่างชั้นสูงสุดเลื่อนไปชั้นที่ 5 เช่นเดียวกับคลื่นแผ่นดินไหวขนาดความเร่งสูงสุด 0.10g

4.5 สรุปผลการวิเคราะห์

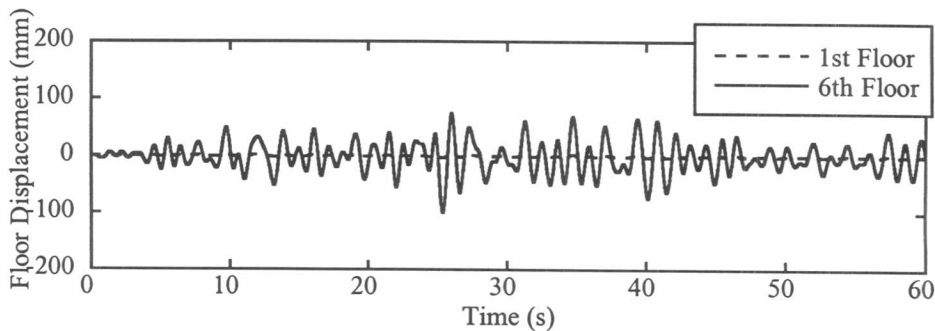
จากการวิเคราะห์เชิงพลศาสตร์ของคลื่นแผ่นดินไหว BYK, EI Centro และ SCT พบว่า อาคารตัวอย่างจะมีผลการตอบสนองมากที่สุด ในกรณีของคลื่นแผ่นดินไหว BYK เนื่องจากความถี่ธรรมชาติของอาคาร (fundamental frequency) มีค่าใกล้เคียงกับความถี่เด่นชัดของคลื่นแผ่นดินไหว (predominant frequency) โดยเมื่อขนาดความเร่งที่ฐานไม่มากนักเท่ากับ 0.05g อาคารตัวอย่างจะมีความเสียหายเกิดขึ้นไม่มากและมีพฤติกรรมในช่วงยึดหยุ่น แต่เมื่อขนาดความเร่งที่ฐานมีค่าเพิ่มขึ้นเท่ากับ 0.10g และ 0.15g อาคารตัวอย่างจะเกิดความเสียหายในแบบเสาอ่อน-คานแข็ง (weak column – strong beam) โดยพบความเสียหายในเสามากกว่าคาน เสาชั้นบนในชั้นที่ 4, 5 และ 6 จะเกิดความเสียหามากกว่าเสาชั้นล่างในชั้นที่ 1, 2 และ 3 เนื่องจากการลดขนาดหน้าตัดเสาและการเสริมเหล็กให้น้อยลง ทำให้เสาไม่กำลังต่ำกว่าคานมาก ดังแสดงได้ในรูปที่ 4.6 ส่วนคนพบว่าจะเกิดความเสียหายที่คานชั้นล่างในชั้นที่ 1, 2 และ 3 คานภายในจะเกิดความเสียหามากกว่าคานภายนอก เนื่องจากการลดขนาดหน้าตัดคานและการเสริมเหล็กให้น้อย ประกอบกับคานชั้นล่างมีกำลังต่ำกว่าเสามาก ดังแสดงได้ในรูปที่ 4.6 จึงทำให้เกิดความเสียหามากกว่าคานชั้นบน และในประเทศไทยซึ่งจัดอยู่ในเขตแผ่นดินไหวปานกลาง ตามมาตรฐานของ UBC โดยมีขนาดความเร่งสูงสุดของการเคลื่อนตัวที่ฐานเท่ากับ 0.15g พบว่า อาคารตัวอย่างจะเกิดความเสียหายนะตับรุนแรง โดยมีการเปลี่ยนรูปแบบพลาสติกเกิดขึ้นในองค์อาคาร ดังนั้นในระบบการออกแบบที่นิยมกระทำกันโดยทั่วไป เสาแมกนีติกจะทำให้มีกำลังต่ำกว่าคานควรมีการปรับปรุง เนื่องจากจะเป็นอันตรายในขณะเกิดแผ่นดินไหวดังเช่นที่เกิดขึ้นในอาคารตัวอย่าง

ตารางที่ 4.1 ผลการตอบสนองสูงสุดของอาคารตัวอย่าง ของคลื่นแผ่นดินไหว BYK, SCT และ El Centro ขนาดความเร่งสูงสุด 0.05g, 0.10g และ 0.15g

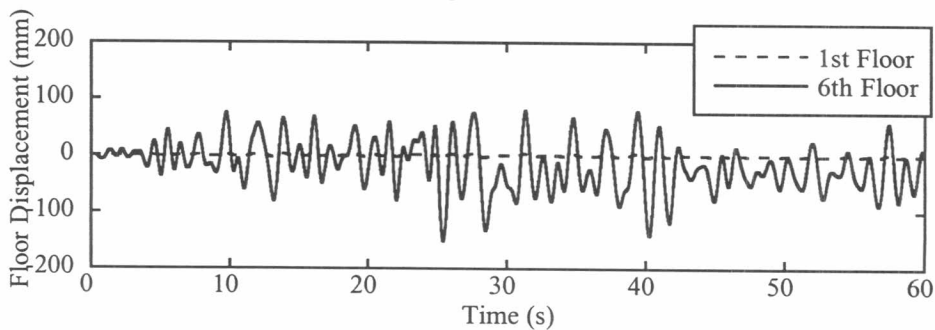
Responses of structure		BYK			El Centro			SCT		
		0.05g	0.10g	0.15g	0.05g	0.10g	0.15g	0.05g	0.10g	0.15g
Global behavior	1) การเปลี่ยนตำแหน่งชั้น (mm)	47.0	100.0	151.0	22.40	43.2	63.6	32.0	68.2	123.6
	2) การเปลี่ยนตำแหน่งระหว่างชั้น (mm) inter-story drift (%)	11.7 0.39	25.6 0.85	42.7 1.42	5.8 0.18	11.0 0.37	16.4 0.55	7.6 0.25	16.1 0.54	33.3 1.11
	3) แรงเฉือนที่ฐานอาคาร (kN) ส.ป.ส.แรงเฉือนที่ฐาน (V/W)	213.0 0.08	398.0 0.14	518.0 0.18	103.0 0.04	191.0 0.07	252.0 0.09	182.0 0.06	360.0 0.13	537.0 0.19
	4) แรงเฉือนในเสา (kN)	61.7	111.0	146.7	45.0	66.3	82.6	63.0	111.4	149.6
Local behavior	5) แรงตามแนวแกนในเสา (kN)	501.4	583.7	599.0	443.3	485.8	524.2	461.0	544.7	557.0
	6) โมเมนต์ด้านในเสา (kN-m)	70.5	110.4	135.8	51.0	72.4	112.0	69.4	114.2	151.6
	7) ความโค้งในเสา (1/m)	0.012	0.027	0.110	0.009	0.015	0.026	0.009	0.019	0.068
	8) โมเมนต์ด้านคาน (kN-m)	53.7	66.6	71.6	28.2	46.7	56.6	38.4	60.4	68.8
	9) ความโค้งในคาน (1/m)	0.010	0.031	0.049	0.005	0.008	0.013	0.006	0.020	0.047



(ก) ความเร่งสูงสุด 0.05g

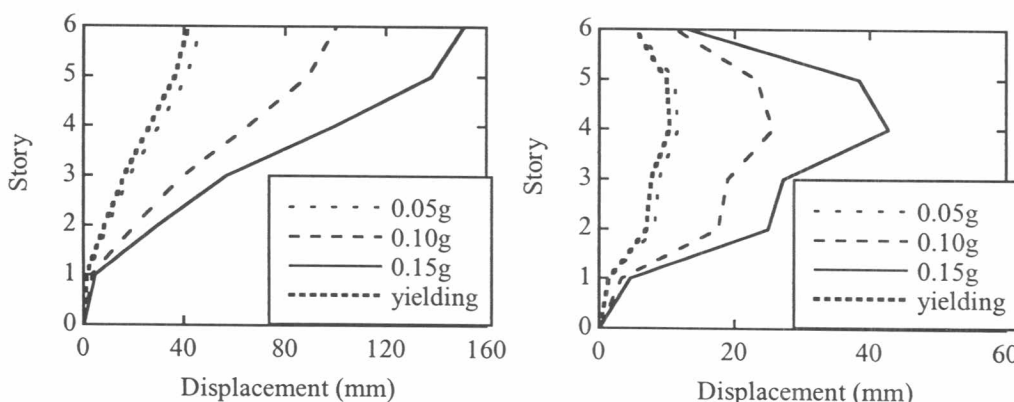


(ข) ความเร่งสูงสุด 0.10g

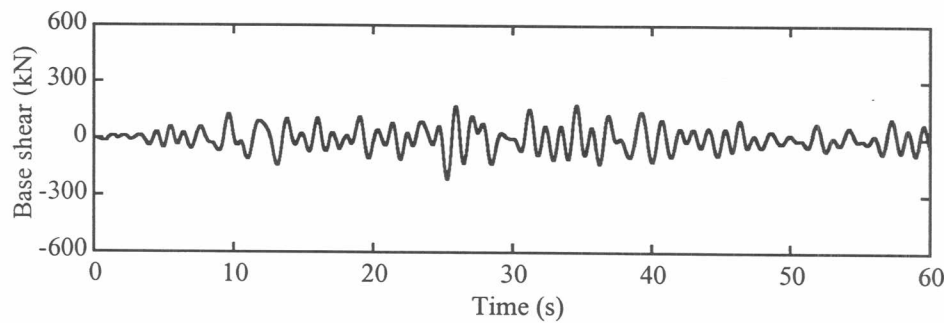


(ค) ความเร่งสูงสุด 0.15g

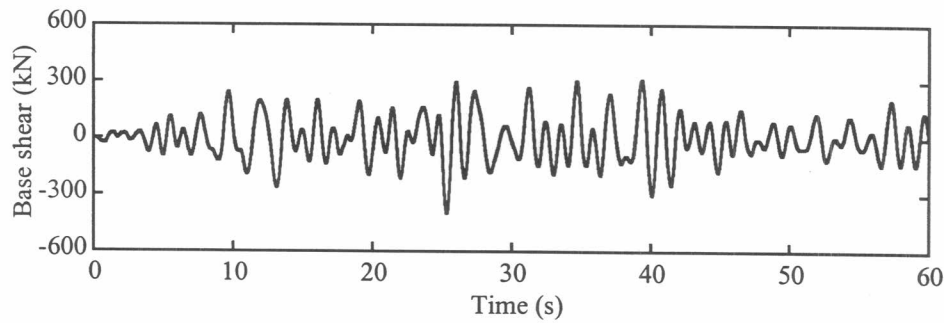
รูปที่ 4.1 การเปลี่ยนตำแหน่งชั้นที่ 1 และ 6 ตามเวลาของคลื่นแผ่นดินไหว BYK ขนาดความเร่งสูงสุด 0.05g, 0.10g และ 0.15g



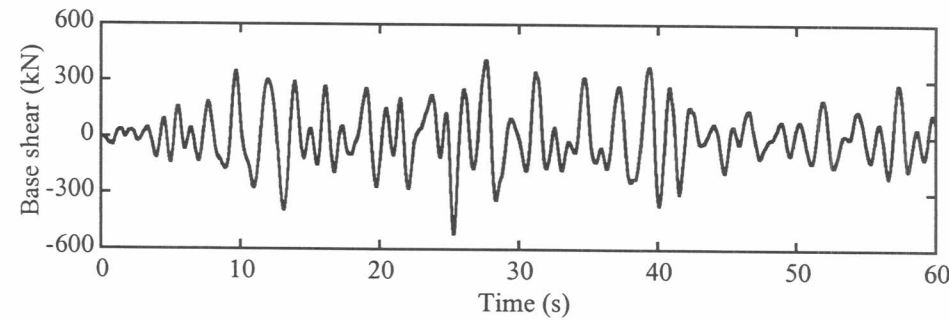
รูปที่ 4.2 การเปลี่ยนตำแหน่งสูงสุดที่ชั้นต่างๆ และการเปลี่ยนตำแหน่งสัมพัทธิ์ระหว่างชั้นสูงสุดตามความสูงของอาคารตัวอย่างของคลื่นแผ่นดินไหว BYK



(ก) ความเร่งสูงสุด 0.05g

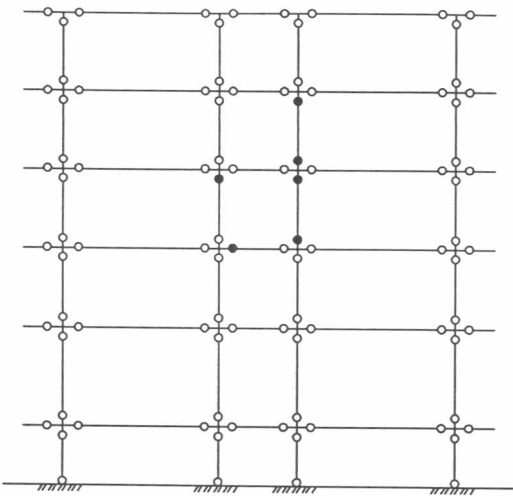


(ข) ความเร่งสูงสุด 0.10g

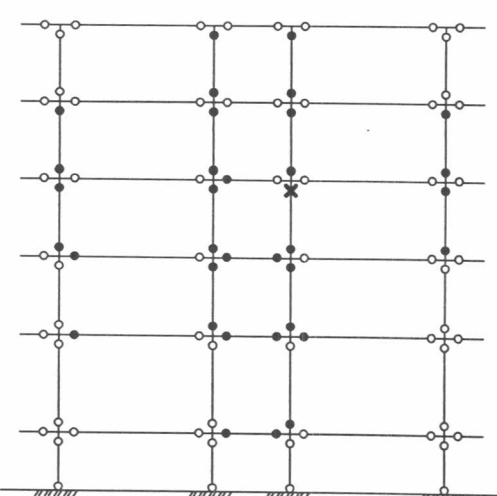


(ค) ความเร่งสูงสุด 0.15g

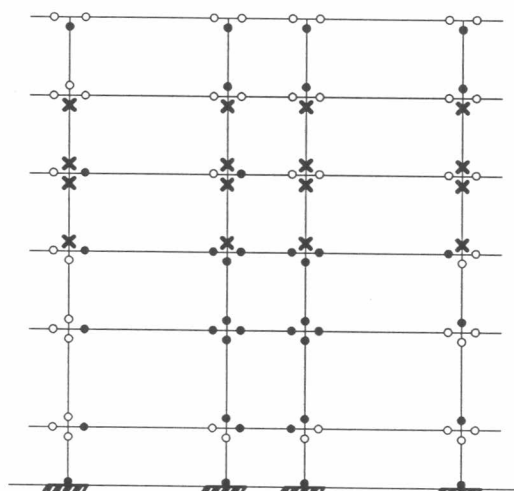
รูปที่ 4.3 แรงเฉือนที่ฐานอาคารตามเวลาของคลื่นแผ่นดินไหว BYK ขนาดความเร่งสูงสุด 0.05g, 0.10g และ 0.15g



(ก) ความเร่งสูงสุด 0.05g



(ข) ความเร่งสูงสุด 0.10g



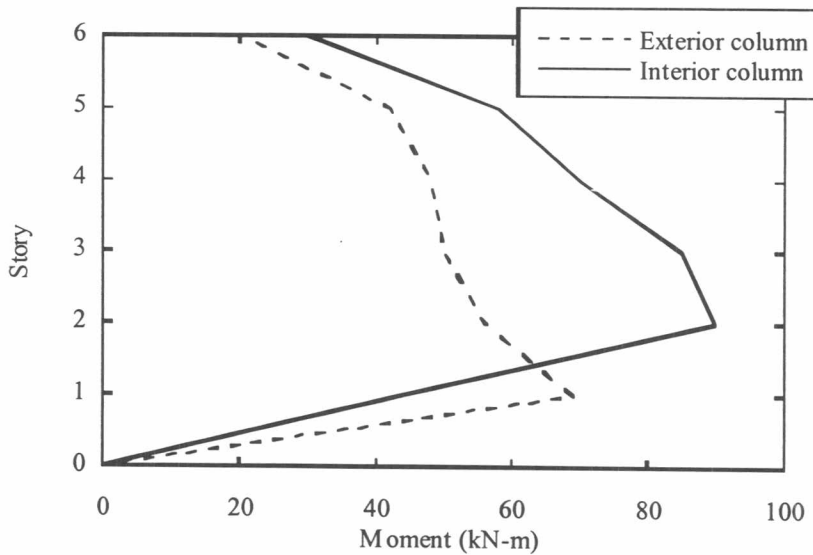
(ค) ความเร่งสูงสุด 0.15g

สัญลักษณ์รูปแบบความเสียหาย

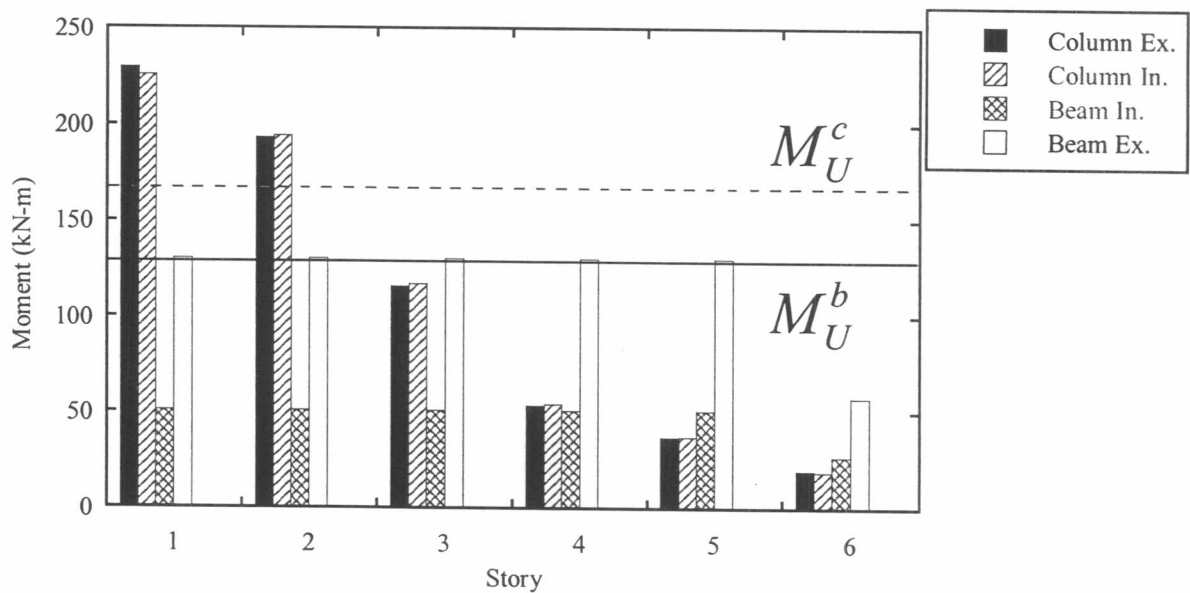
● เกิดการคราก

✗ ที่จุด ultimate

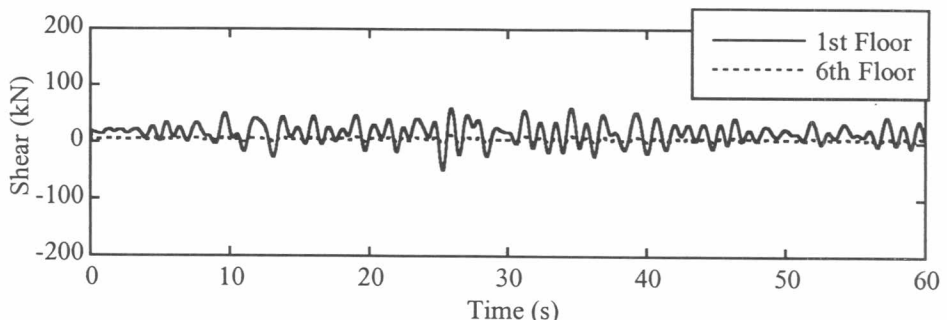
รูปที่ 4.4 รูปแบบความเสียหายของอาคารตัวอย่างของคลื่นแผ่นดินไหว BYK ขนาดความเร่งสูงสุด 0.05g, 0.10g และ 0.15g



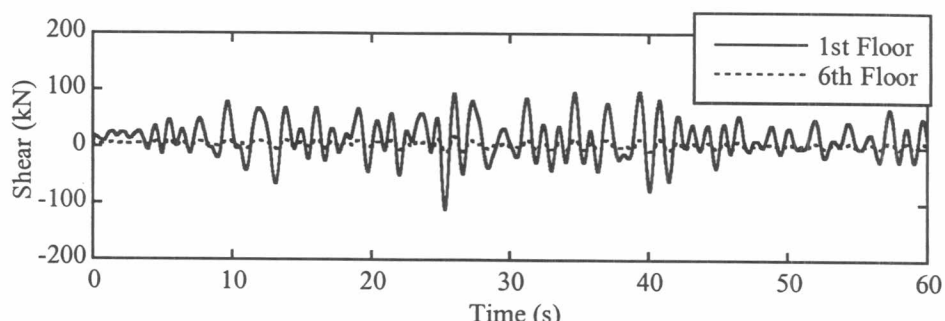
รูปที่ 4.5 การเปรียบเทียบโมเมนต์ดัดของเสาภายในและเสาภายนอกของคลื่นแผ่นดินไหว BYK
ขนาดความเร่งสูงสุด $0.15g$



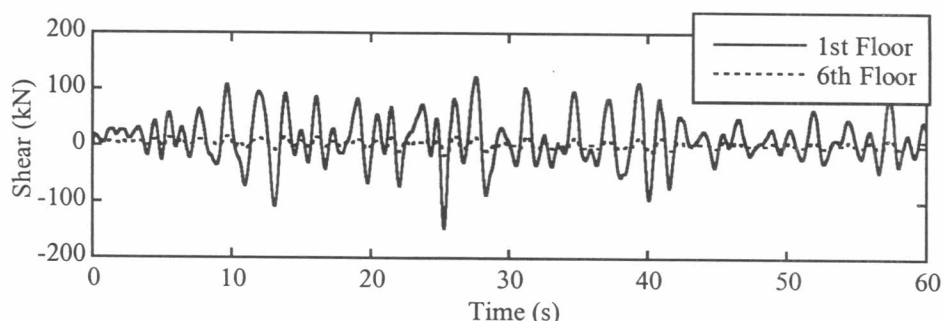
รูปที่ 4.6 การเปรียบเทียบกำลังรับโมเมนต์ดัดในเสาและคานและกำลังรับโมเมนต์ดัดตาม
มาตรฐานของ UBC (1970)



(ก) ความเร่งสูงสุด 0.05g

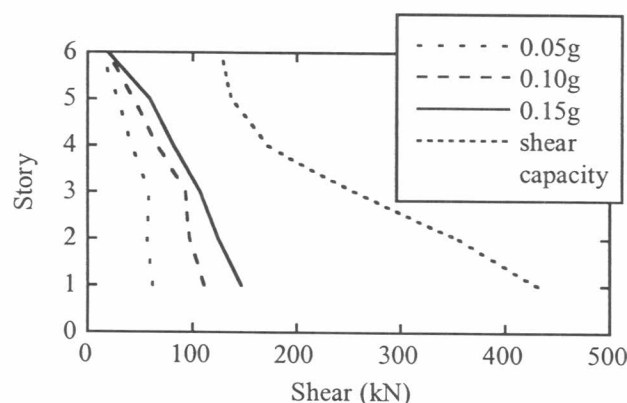


(ข) ความเร่งสูงสุด 0.10g

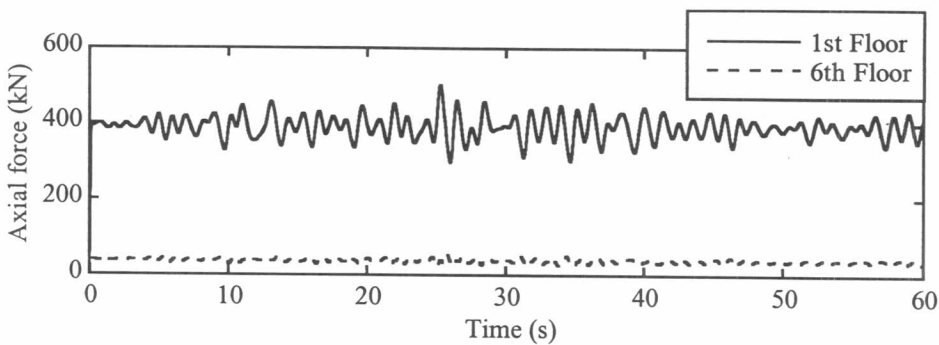


(ค) ความเร่งสูงสุด 0.15g

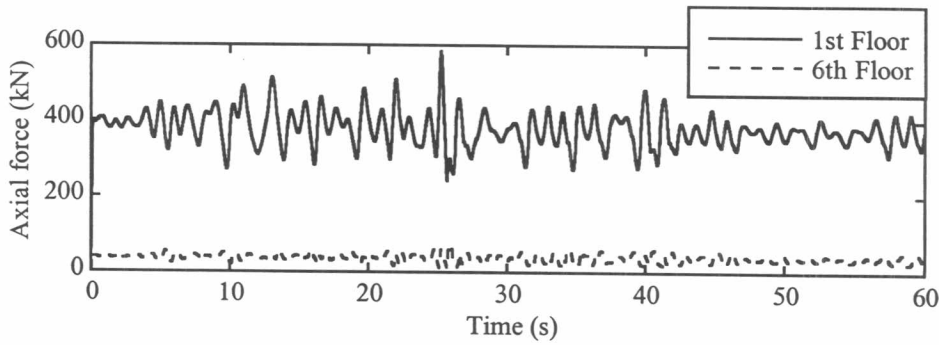
รูปที่ 4.7 แรงเฉือนของเสาภายในชั้นที่ 1 และ 6 ตามเวลาของคลื่นแผ่นดินไหว BYK ขนาดความเร่งสูงสุด 0.05g, 0.10g และ 0.15g



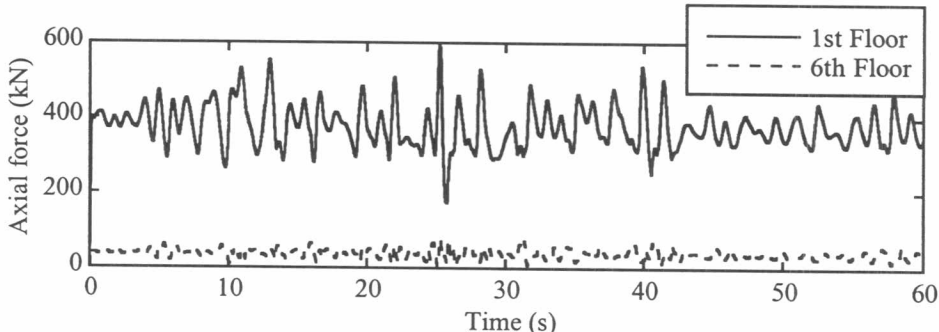
รูปที่ 4.8 แรงเฉือนของเสาภายใน และ กำลังต้านทานแรงเฉือนของหน้าตัดเสา ตามความสูงของอาคารของคลื่นแผ่นดินไหว BYK



(ก) ความเร่งสูงสุด 0.05g

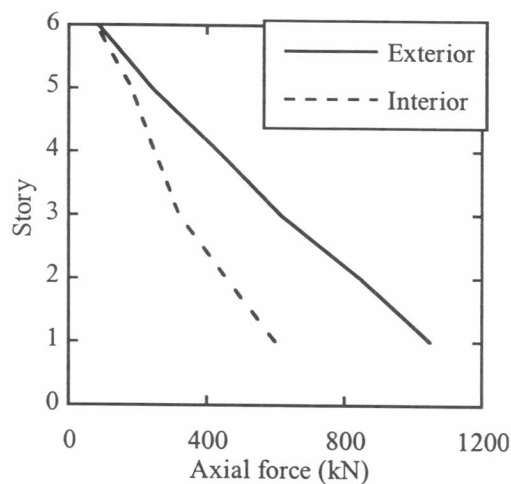


(ข) ความเร่งสูงสุด 0.10g

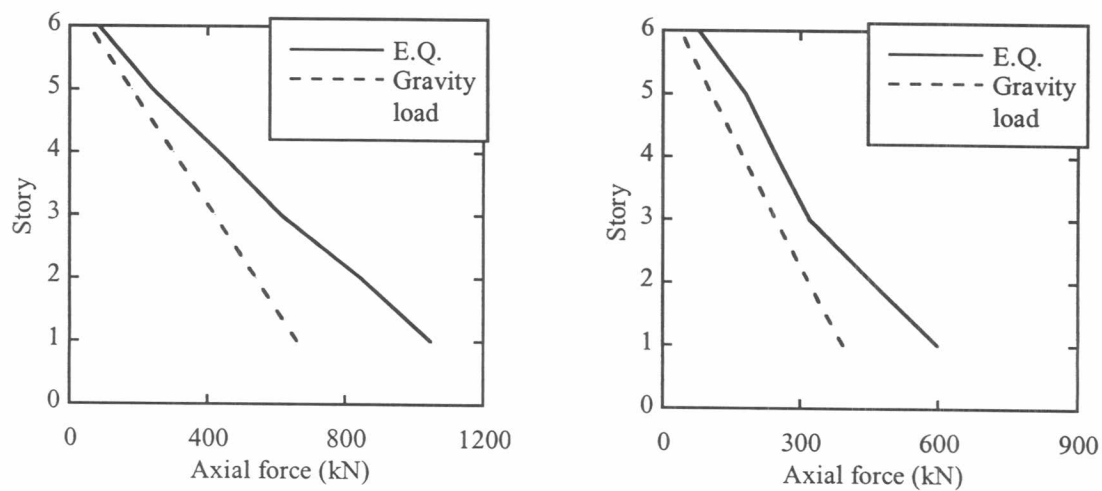


(ค) ความเร่งสูงสุด 0.15g

ภาพที่ 4.9 แรงตามแนวแกนของเสาภายในชั้นที่ 1 และ 6 ตามเวลาของคลื่นแผ่นดินไหว BYK ขนาดความเร่งสูงสุด 0.05g, 0.10g และ 0.15g

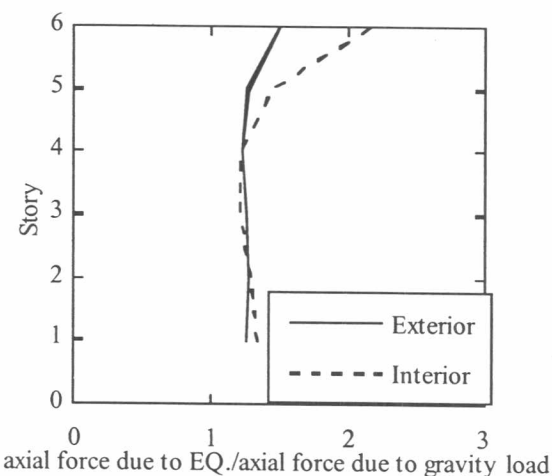


รูปที่ 4.10 แรงตามแนวแกนสูงสุดในเสาตามความสูงของอาคารของคลื่นแผ่นดินไหว BYK ขนาดความเร่งสูงสุด $0.15g$



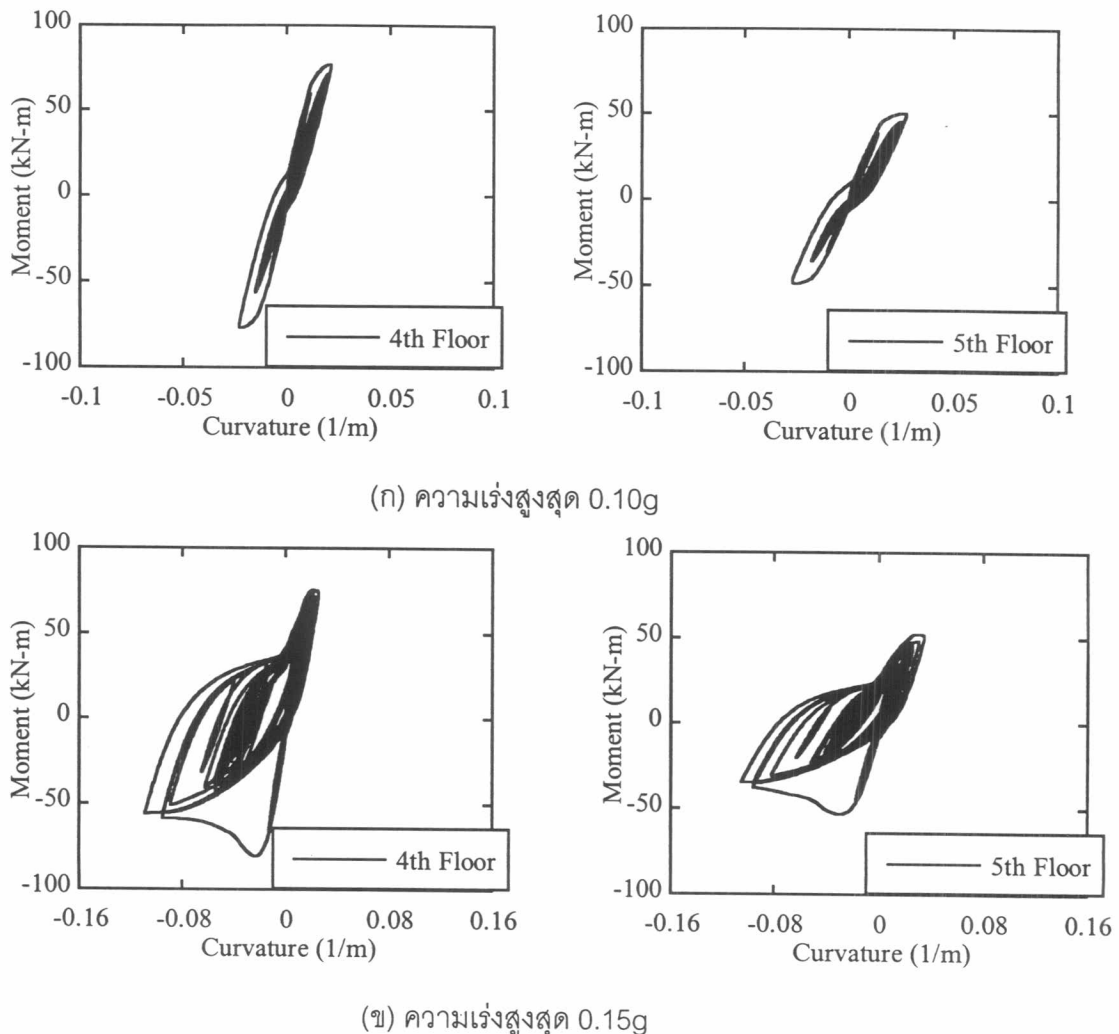
(ก) เสาภายนอก

(ข) เสาภายใน

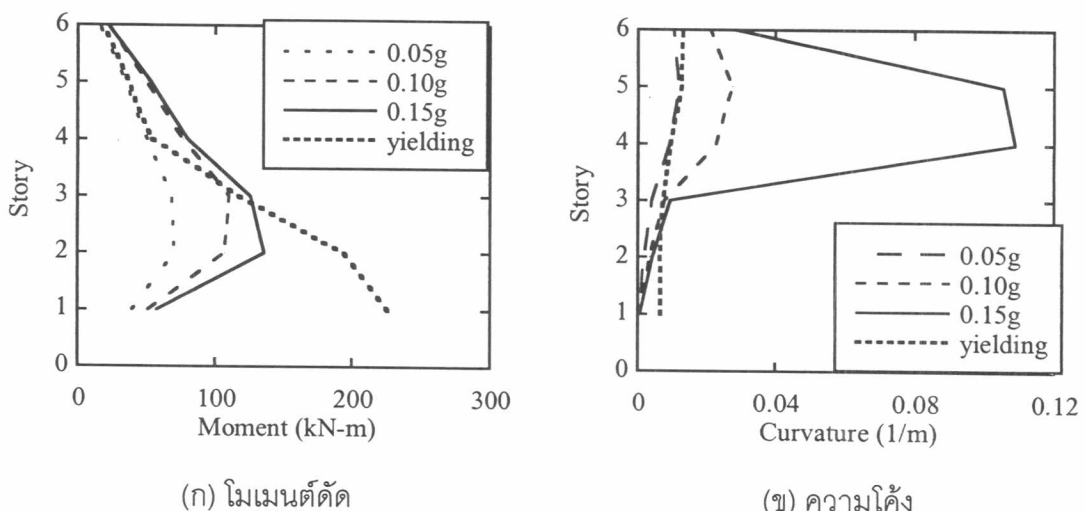


(ค) อัตราส่วนแรงตามแนวแกนในเสา

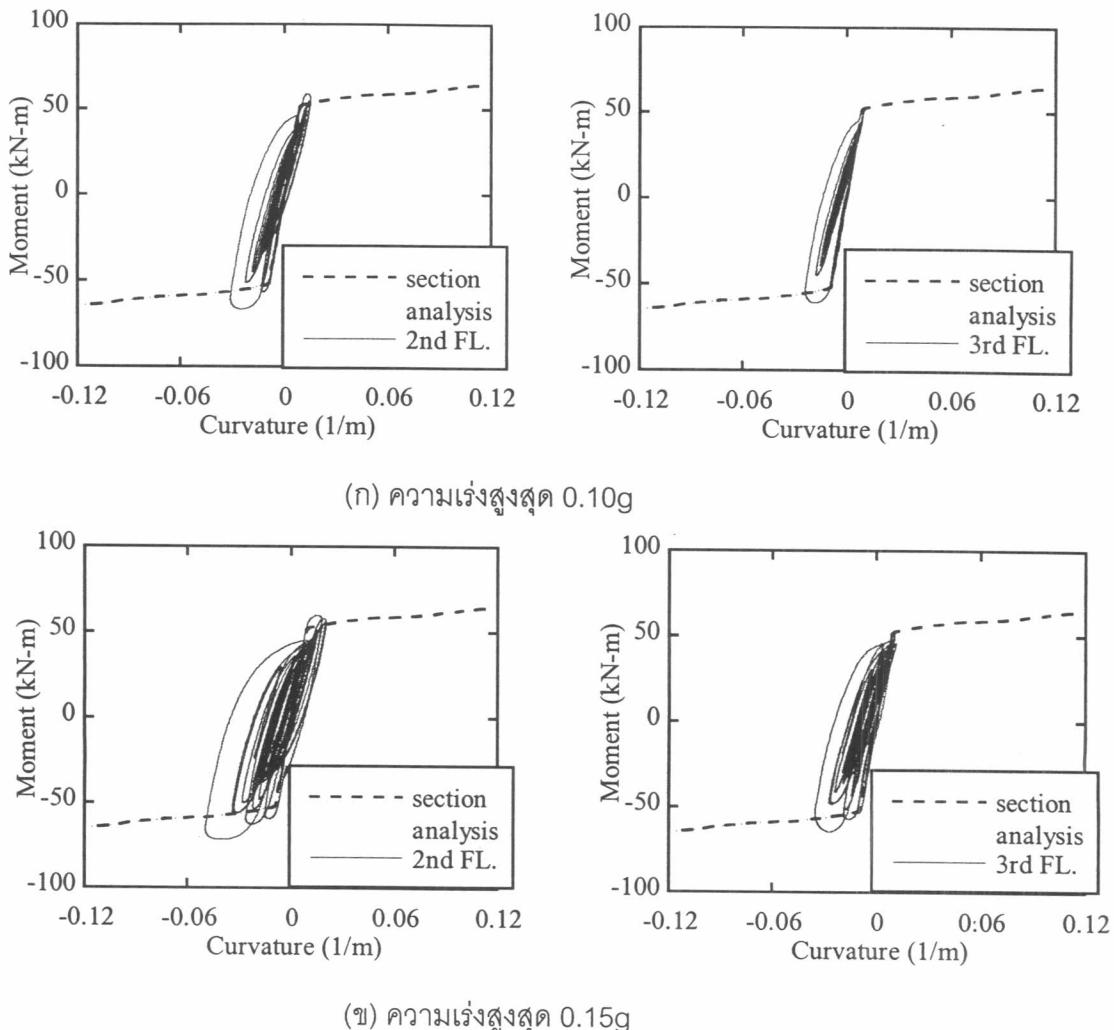
รูปที่ 4.11 การเปลี่ยนแปลงแรงตามแนวแกนสูงสุดในเสาของอาคารตัวอย่างของคลื่นแผ่นดินไหว BYK ขนาดความเร่งสูงสุด $0.15g$



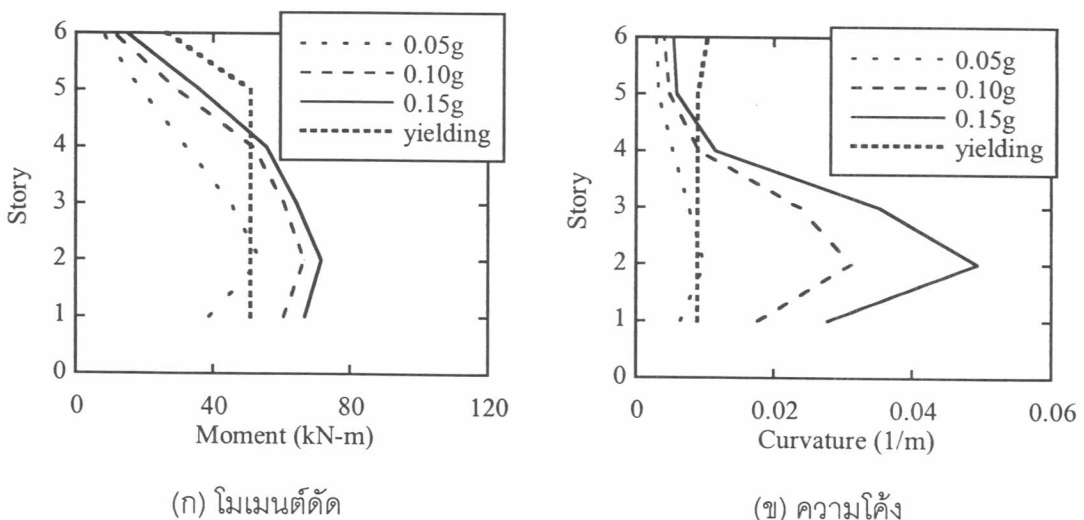
รูปที่ 4.12 ความสัมพันธ์ระหว่างโมเมนต์ดัดและความโค้งของเสาปลายบนชั้นที่ 4 และ 5 ของคลื่นแผ่นดินไหว BYK ขนาดความเร่งสูงสุด 0.10g และ 0.15g



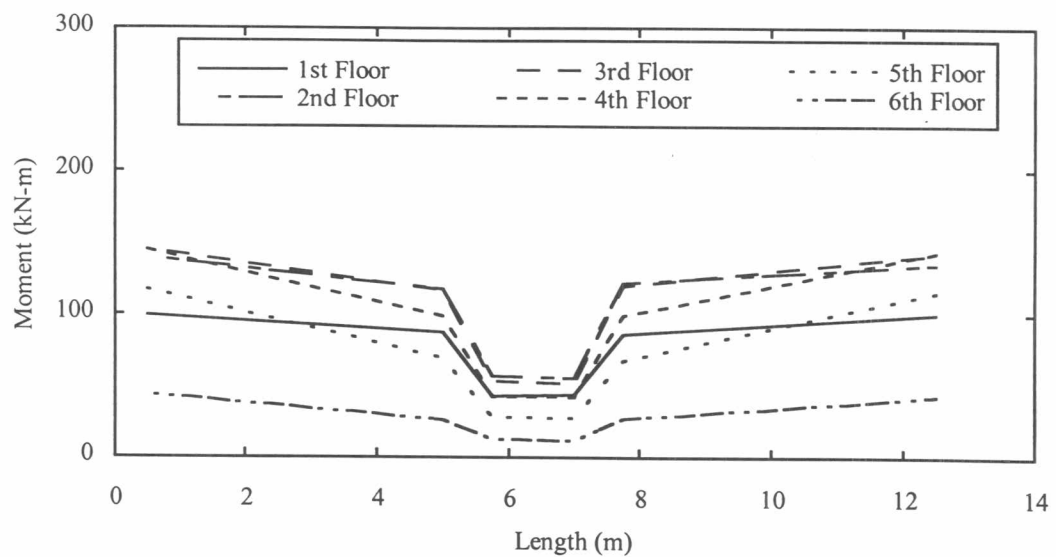
รูปที่ 4.13 โมเมนต์ดัดและความโค้งของเสาภายใต้ความสูงอาคาร และกำลังต้านทาน โมเมนต์ดัดและความโค้งที่จุดครากของคลื่นแผ่นดินไหว BYK



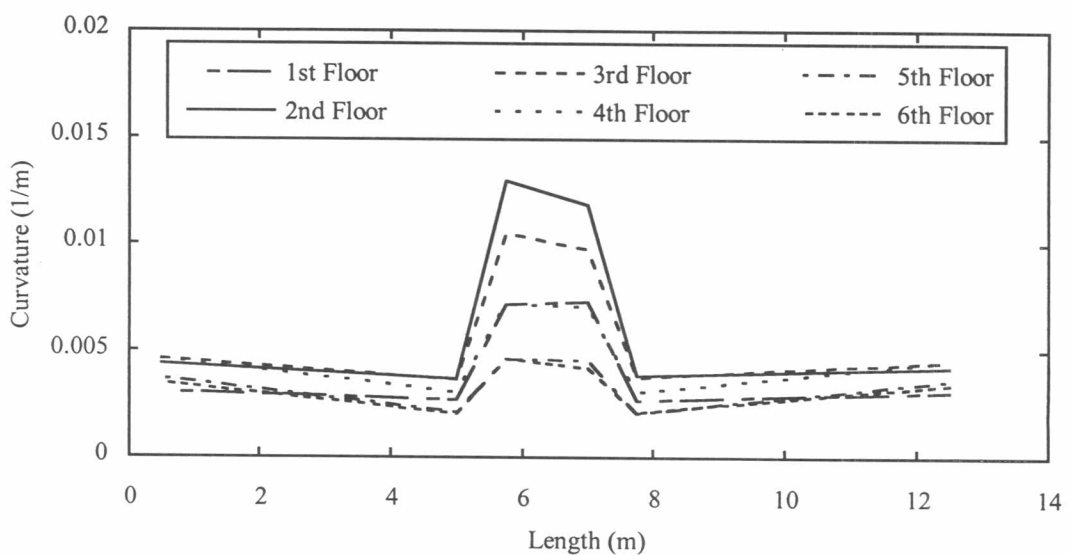
รูปที่ 4.14 ความสัมพันธ์ระหว่างโมเมนต์ดัดและความโค้งของคานภายใต้ชั้นที่ 2 และ 3 ของคลื่นแผ่นดินไหว BYK ขนาดความเร่งสูงสุด 0.10g และ 0.15g



รูปที่ 4.15 โมเมนต์ดัดและความโค้งของคานภายใต้ความสูงอาคาร และ กำลังต้านทานโมเมนต์ดัดและความโค้งที่จุดครากของคลื่นแผ่นดินไหว BYK 0.05g, 0.10g และ 0.15g

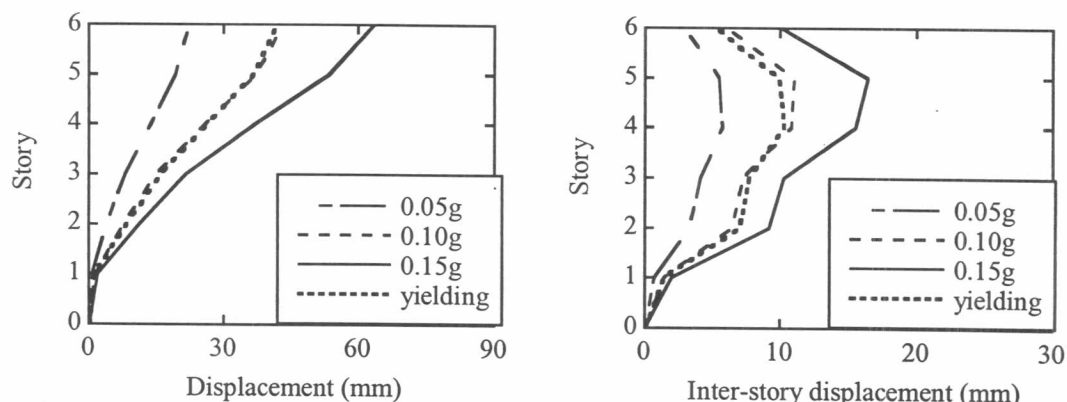


(ก) โมเมนต์ตัด

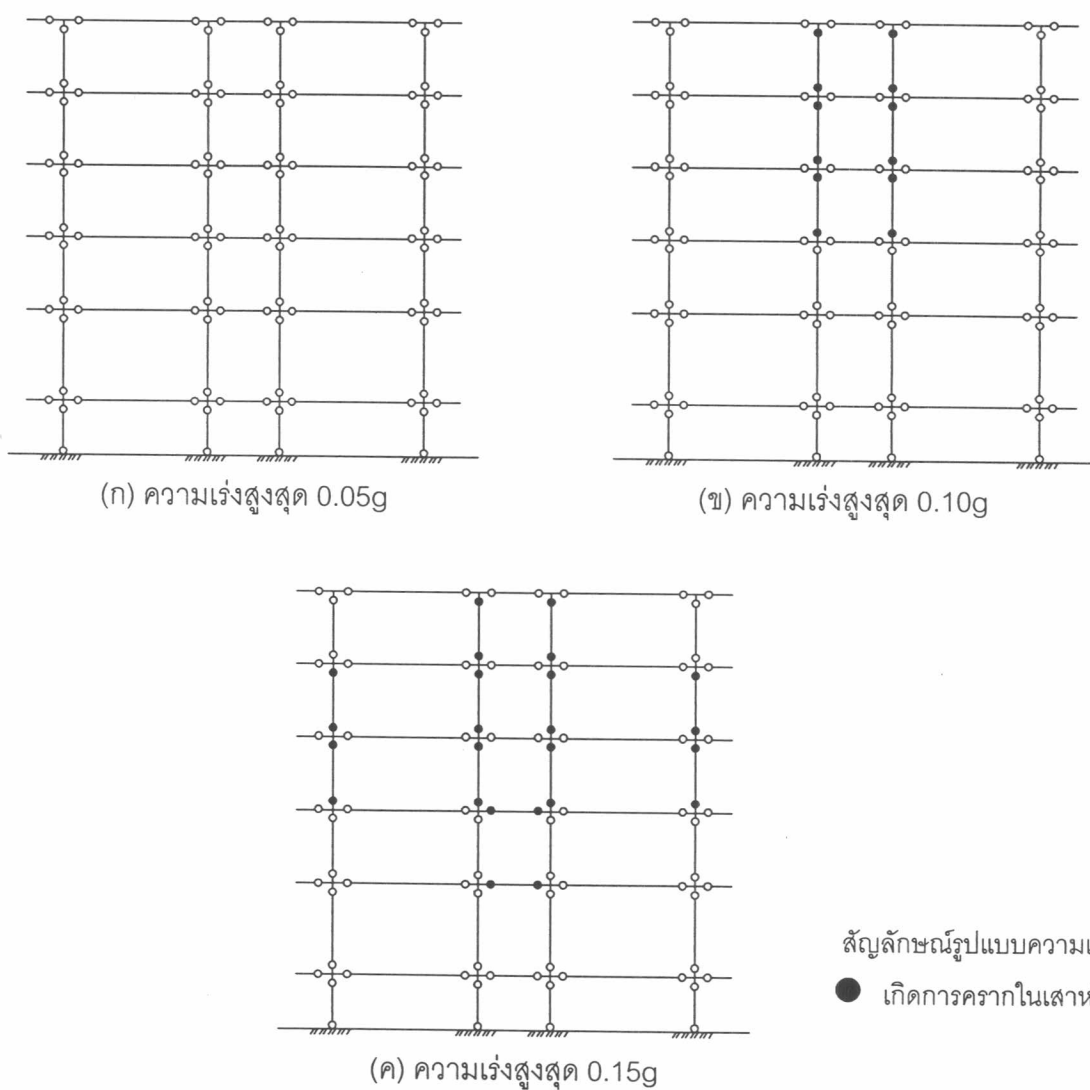


(ข) ความโค้ง

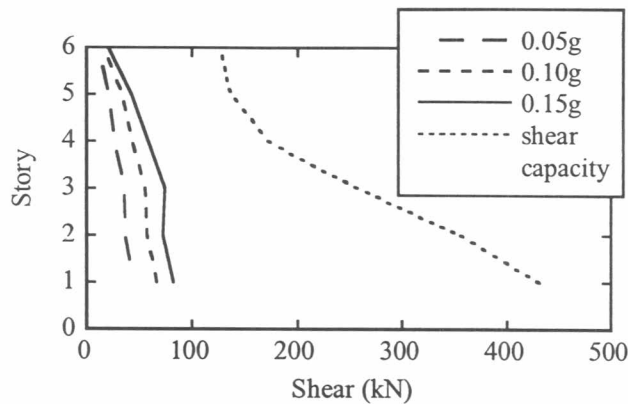
รูปที่ 4.16 โมเมนต์ตัดและความโค้งของคานตามความยาวของอาคารภายใต้คลื่นแผ่นดินไหว BYK ขนาดความเร่งสูงสุด 0.15g



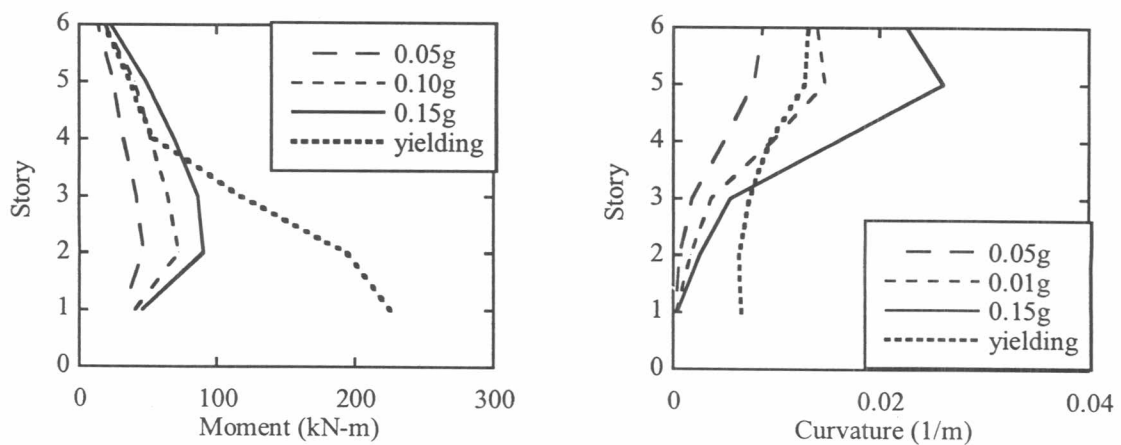
รูปที่ 4.17 การเปลี่ยนตำแหน่งสูงสุดที่ชั้นต่างๆ และการเปลี่ยนตำแหน่งระหว่างชั้นสูงสุด ตามความสูงอาคารของคลื่นแผ่นดินไหว El Centro



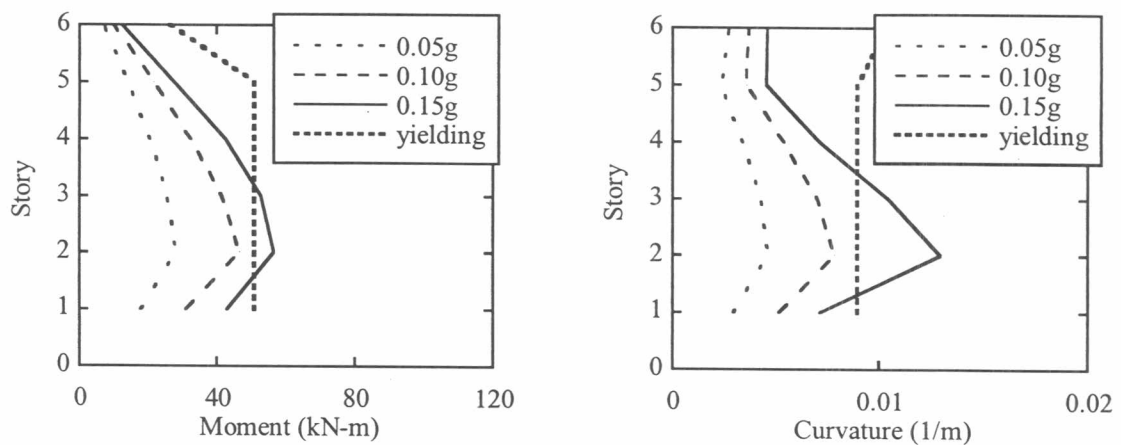
รูปที่ 4.18 รูปแบบความเสียหายของอาคารตัวอย่างของคลื่นแผ่นดินไหว El Centro ขนาดความเร่งสูงสุด 0.05g, 0.10g และ 0.15g



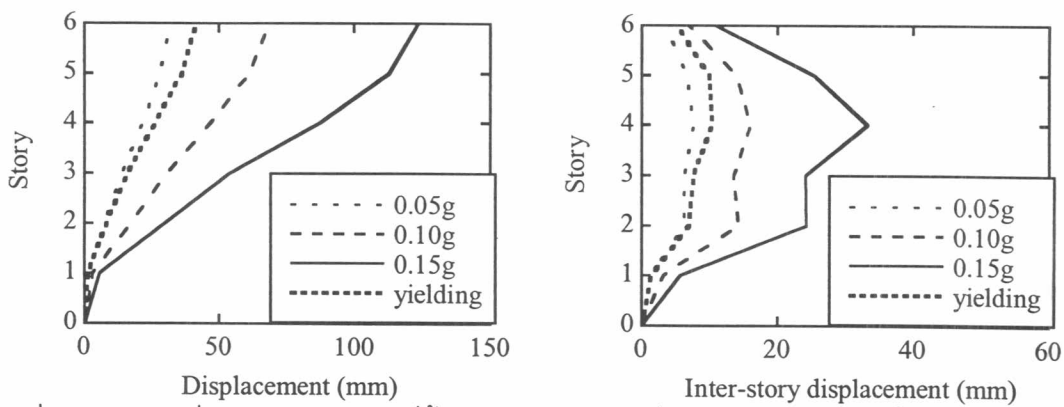
รูปที่ 4.19 แรงเฉือนของเสาภายใน และ กำลังต้านทานแรงเฉือนของหน้าตัดเสา ตามความสูงของอาคารของแผ่นดินไหว El Centro



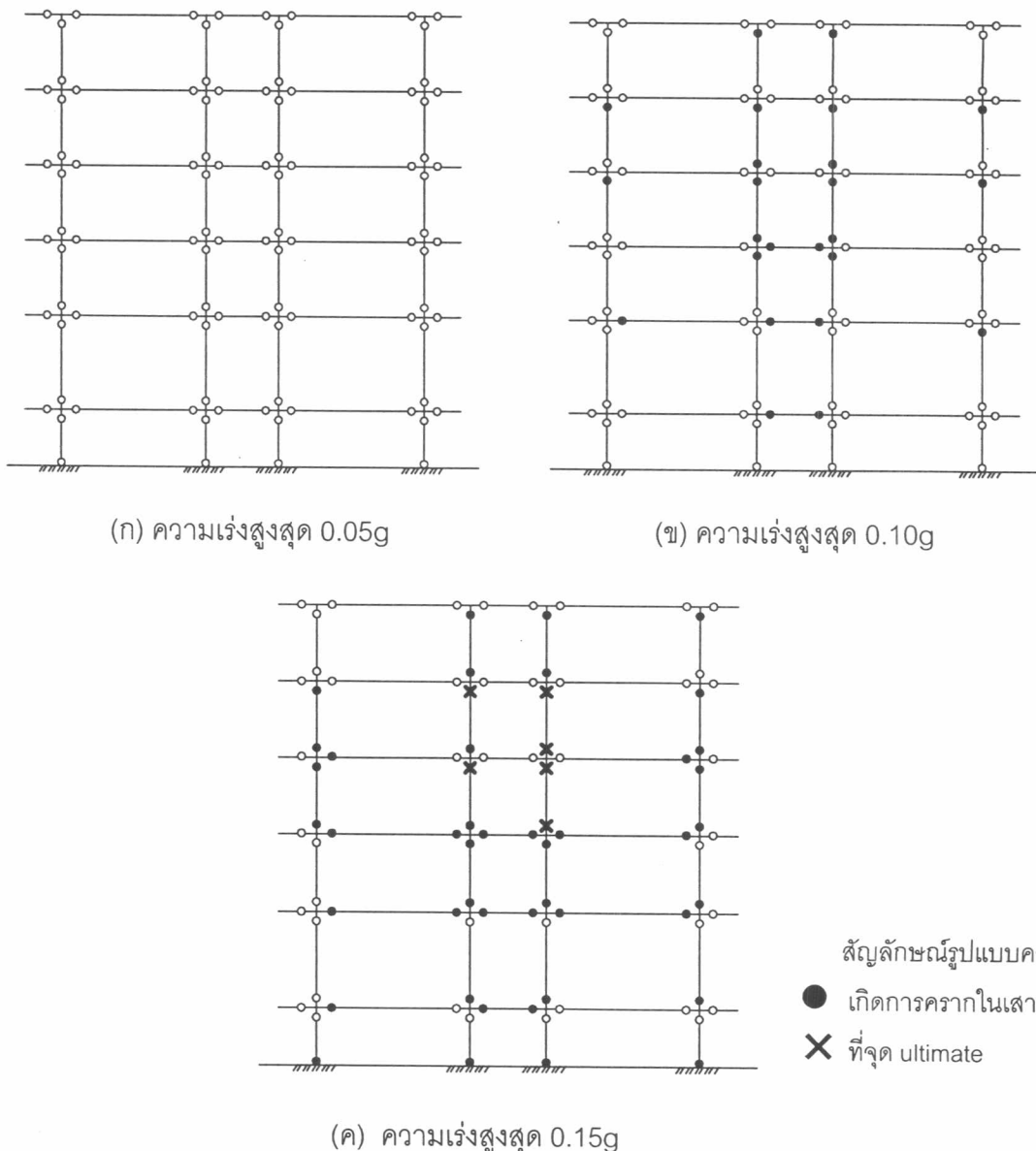
รูปที่ 4.20 โมเมนต์ดัดและความโค้งของเสาภายในตามความสูงอาคาร และ กำลังต้านทาน
โมเมนต์ดัดและความโค้งที่จุดคราก ของคลื่นแผ่นดินไหว El Centro



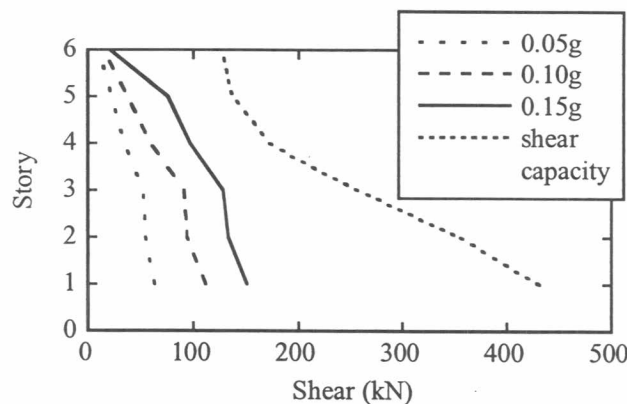
รูปที่ 4.21 โมเมนต์ดัดและความโค้งของคานภายในตามความสูงอาคาร และ กำลังต้านทาน
โมเมนต์ดัดและความโค้งที่จุดคราก ของคลื่นแผ่นดินไหว El Centro 0.05g, 0.10g และ 0.15g



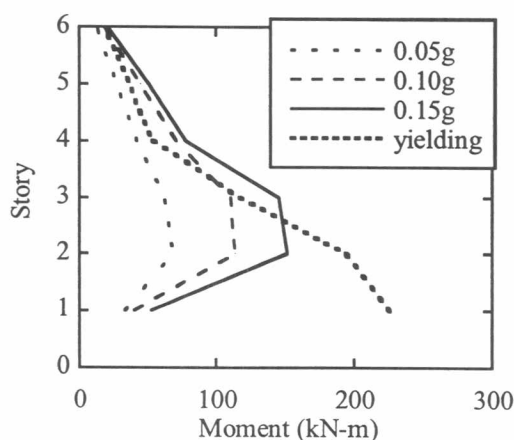
รูปที่ 4.22 การเปลี่ยนตำแหน่งสูงสุดที่ชั้นต่างๆ และการเปลี่ยนตำแหน่งระหว่างชั้นสูงสุด ตามความสูงอาคารของคลื่นแผ่นดินไหว SCT



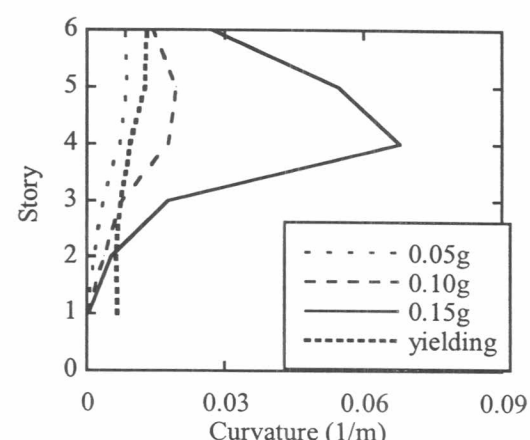
รูปที่ 4.23 รูปแบบความเสียหายของอาคารตัวอย่างของคลื่นแผ่นดินไหว SCT ขนาดความเร่งสูงสุด 0.05g, 0.10g และ 0.15g



รูปที่ 4.24 แรงเฉือนของเสาภายใน และ กำลังต้านทานแรงเฉือนของหน้าตัด ตามความสูงของอาคารภายใต้คลื่นแผ่นดินไหว El Centro

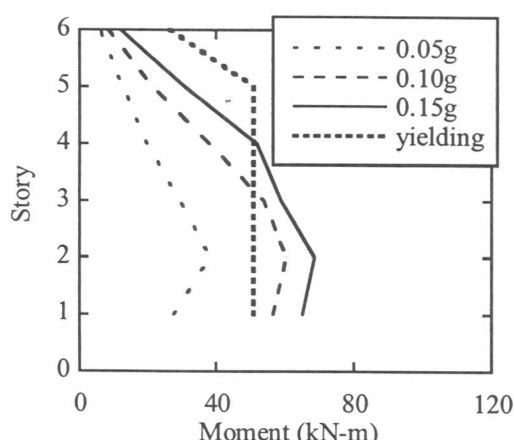


(ก) โมเมนต์ตัด

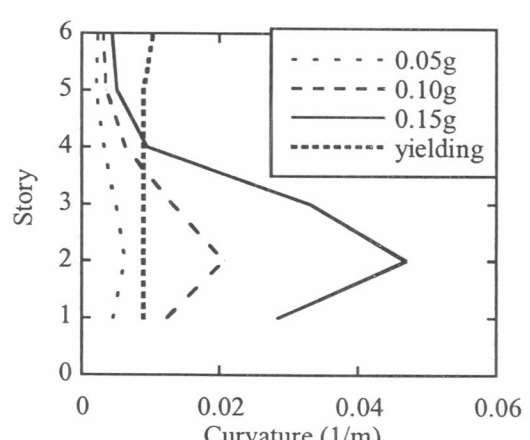


(ข) ความโค้ง

รูปที่ 4.25 โมเมนต์ตัดและความโค้งของเสาภายในส่วนบนตามความสูงอาคาร และกำลังต้านทานโมเมนต์ตัดและความโค้งที่จุดครากของคลื่นแผ่นดินไหว SCT

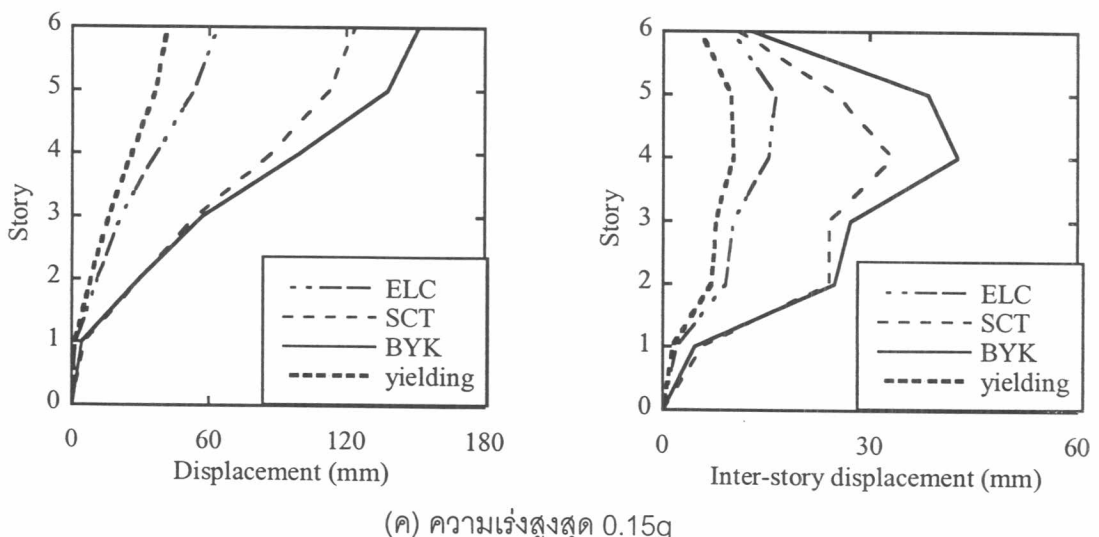
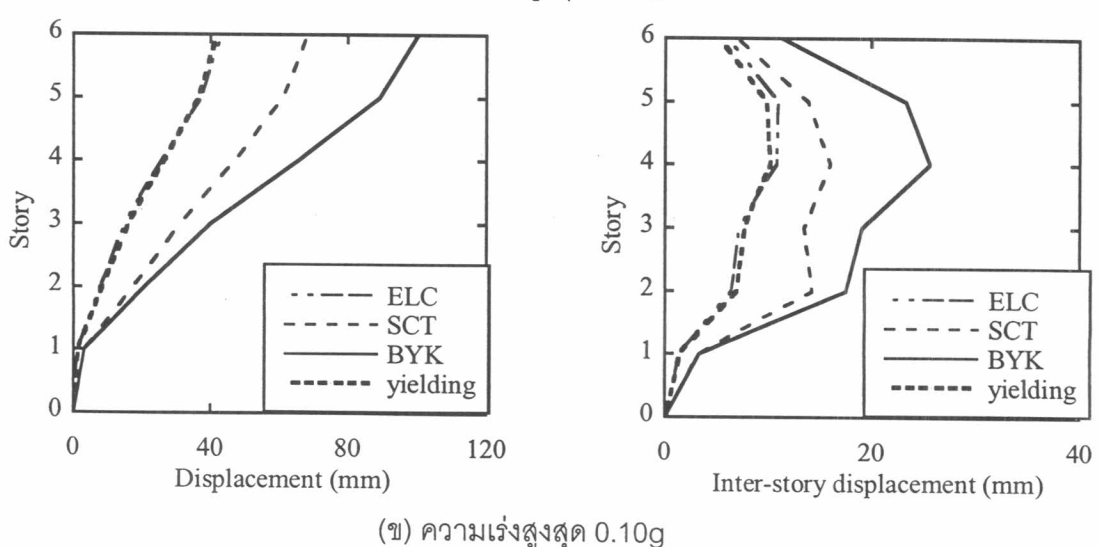
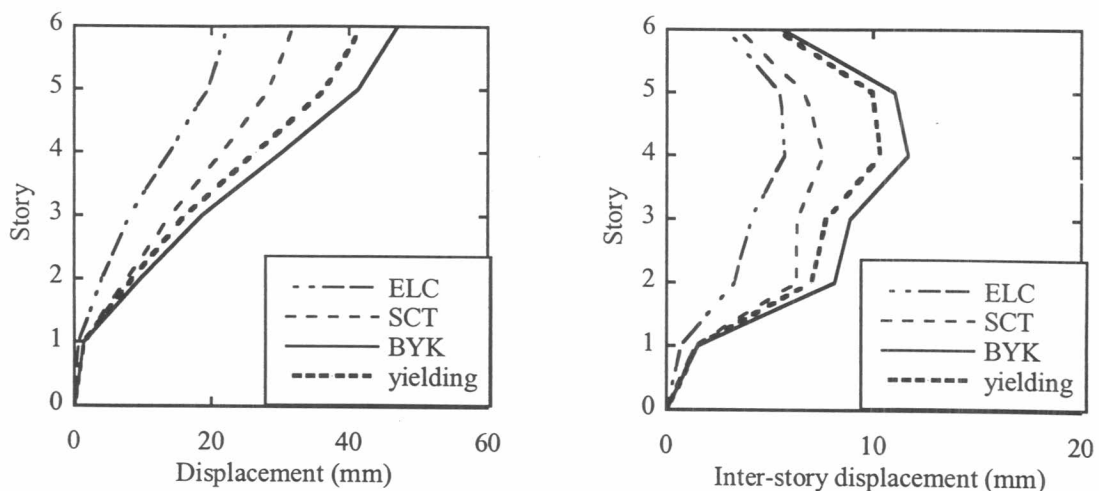


(ก) โมเมนต์ตัด



(ข) ความโค้ง

รูปที่ 4.26 โมเมนต์ตัดและความโค้งของคานภายในตามความสูงอาคาร และ กำลังต้านทานโมเมนต์ตัดและความโค้งที่จุดครากของคลื่นแผ่นดินไหว SCT 0.05g, 0.10g และ 0.15g



รูปที่ 4.27 การเปรียบเทียบการเปลี่ยนตำแหน่งสูงสุดที่ชั้นต่างๆ และการเปลี่ยนตำแหน่งสัมพัทธ์ระหว่างชั้นสูงสุดของอาคารตัวอย่างของคลื่นแผ่นดินไหวขนาดความเร่งสูงสุด 0.05g, 0.10g และ 0.15g